

## MODELAGEM MAGNÉTICA 3D DE CORPOS ELIPSOIDAIIS

Diego Takahashi Tomazella

Dissertação de Mestrado apresentada ao Programa de Pós-graduação em Geofísica do Observatório Nacional/MCTI, como parte dos requisitos necessários à obtenção do Grau de Mestre em Ciências.

Orientador: Vanderlei Coelho de Oliveira Jr.

Rio de Janeiro  
Fevereiro de 2017

# MODELAGEM MAGNÉTICA 3D DE CORPOS ELIPSOIDAIIS

Diego Takahashi Tomazella

DISSERTAÇÃO SUBMETIDA AO PROGRAMA DE PÓS-GRADUAÇÃO EM GEOFÍSICA DO OBSERVATÓRIO NACIONAL/MCTI COMO PARTE DOS REQUISITOS NECESSÁRIOS PARA A OBTENÇÃO DO GRAU DE MESTRE EM CIÊNCIAS EM GEOFÍSICA.

Examinada por:

---

Prof. Vanderlei Coelho de Oliveira Jr. - Orientador, D.Sc.

---

Prof.<sup>a</sup> Valéria Cristina Ferreira Barbosa, D.Sc.

---

Prof. Wladimir Shukowsky, D.Sc.

RIO DE JANEIRO, RJ – BRASIL  
FEVEREIRO DE 2017

Takahashi Tomazella, Diego

Modelagem Magnética 3D de corpos elipsoidais/Diego  
Takahashi Tomazella. – Rio de Janeiro: ON/MCTI, 2017.  
XIV, 58 p.: il.; 29,7cm.

Orientador: Vanderlei Coelho de Oliveira Jr.

Dissertação (mestrado) – ON/MCTI/Programa de Pós-  
graduação em Geofísica, 2017.

Referências Bibliográficas: p. 48 – 52.

1. Métodos Potenciais.      2. Magnetometria.      3.  
Modelagem direta.      4. Modelagem elipsoidal.      I.  
, . II. Observatório Nacional/MCTI, Programa de Pós-  
graduação em Geofísica. III. Título.

*Dedico este trabalho a todos que  
ainda sobrevivem com a ciência.  
Apesar do golpe.*

# Agradecimentos

Gostaria de agradecer a todos que me acompanharam ao longo deste trabalho e que de alguma forma contribuíram para que fosse concluído.

À minha mãe, que ainda me aceita dentro de casa toda vez que volto lá.

Aos amigos do Observatório Nacional, que me aceitam toda vez que volto aqui.

Ao meu orientador Vanderlei, que sempre arranja tempo para mais uma conversa e mais uma explicação.

Aos companheiros de janta, que sempre arranjam estômago para mais uma pizza e um hambúrguer, em especial, Daniel, Felipe e Wellington.

Às companheiras de trabalho, que sempre me alertam para o perigo de mais uma pizza e um hambúrguer, em especial, Larissa, Pillar e Shayane.

Ao senhor Sérgio do prédio, que me deixa o jornal todos os dias no escaninho do apartamento.

E também ao CNPq, que financiou esta pesquisa e não me deixou morrer de fome.

Resumo da Dissertação apresentada ao Programa de Pós-graduação em Geofísica do Observatório Nacional/MCTI como parte dos requisitos necessários para a obtenção do grau de Mestre em Ciências (M.Sc.)

## MODELAGEM MAGNÉTICA 3D DE CORPOS ELIPSOIDAIIS

Diego Takahashi Tomazella

Fevereiro/2017

Orientador: Vanderlei Coelho de Oliveira Jr.

Programa: Geofísica

Apresenta-se, nesta dissertação, a modelagem direta do campo magnético gerado por fontes elipsoidais triaxiais, prolatas e oblatas. Os dados sintéticos foram produzidos com uma implementação utilizando linguagem Python, para obtenção dos mapas das três componentes de campo magnético e também da anomalia total de campo aproximada para n-fontes. Como o modelo elipsoidal permite uma grande flexibilidade em sua forma geométrica, apresentaremos os resultados obtidos para validação do código comparando com outras formas, como esferas e também por simulações numéricas que incluem o efeito de anisotropia e o de desmagnetização no cálculo do vetor de magnetização resultante da fonte, uma vez que esta pode ser calculada de forma analítica em elipsoides. Isto torna o trabalho relevante tanto como ferramenta educacional (e.g., métodos potenciais e magnetismo de rochas) e geofísica aplicada (e.g., caracterização de corpos mineralizados de alta susceptibilidade). O código está disponibilizado livremente para uso da comunidade científica pelo software *Fatiando a Terra*.

Abstract of Dissertation presented to Observatório Nacional/MCTI as a partial fulfillment of the requirements for the degree of Master of Science (M.Sc.)

## 3D MAGNETIC MODELLING FOR ELLIPSOIDAL BODIES

Diego Takahashi Tomazella

February/2017

Advisor: Vanderlei Coelho de Oliveira Jr.

Department: Geophysics

In this work, we present results from a numerical modeling of the magnetic field and total field anomaly, represented by triaxial, prolate and oblate ellipsoid sources. The synthetic data is generated by means of a Python code to obtain the three components of the magnetic field and the approximate total-field anomaly for n-sources. Numerical tests allowed us to compare the results with other implementation (e.g. spheres) and to provide analytical results for anisotropy of magnetic susceptibility as well as for self-demagnetization effects, which can be easily adapted for distinctive geologic structures - hence being an useful tool for educational (e.g., potential methods and rock magnetism) and applied geophysics (e.g., characterization of high magnetic susceptibility, mineralized bodies) purposes. This code will be freely available to the scientific community through the *Fatiando a Terra* software.

# Sumário

<b>Lista de Figuras</b>	<b>x</b>
<b>Lista de Tabelas</b>	<b>xiii</b>
<b>1 Introdução</b>	<b>1</b>
<b>2 Metodologia</b>	<b>4</b>
2.1 Parâmetros geométricos e sistemas de coordenadas . . . . .	4
2.2 Background Teórico . . . . .	6
2.3 Transformação de coordenadas . . . . .	8
2.4 Tensores de depolarização transformados $\tilde{\mathbf{N}}(\tilde{\mathbf{r}})$ . . . . .	10
2.4.1 Tensor de depolarização $\tilde{\mathbf{N}}^\dagger$ . . . . .	10
2.4.2 Tensor de depolarização $\tilde{\mathbf{N}}^\dagger(\tilde{\mathbf{r}})$ . . . . .	12
2.5 Campo magnético interno e magnetização . . . . .	13
2.6 Campo magnético externo e anomalia de campo-total . . . . .	17
<b>3 Implementação computacional</b>	<b>20</b>
<b>4 Simulações Numéricas e Discussões</b>	<b>26</b>
4.1 Modelos elipsoidais . . . . .	26
4.2 Fatores de desmagnetização . . . . .	28
4.3 Comparações entre a $\Delta T(\mathbf{r})$ produzida por modelos elipsoidais similares	35
4.4 Susceptibilidade . . . . .	39
<b>5 Conclusões</b>	<b>46</b>
<b>Referências Bibliográficas</b>	<b>48</b>
<b>A Relação entre as derivadas das funções <math>f(\mathbf{r})</math> e <math>\tilde{f}(\tilde{\mathbf{r}})</math></b>	<b>53</b>
<b>B Parâmetro <math>\lambda</math> e suas derivadas espaciais</b>	<b>55</b>
B.1 Parâmetro $\lambda$ definido para os elipsoides triaxiais . . . . .	55
B.2 Parâmetro $\lambda$ que define os elipsoides prolatos e oblatos . . . . .	57



B.3	Derivadas espaciais do parâmetro $\lambda$ . . . . .	58
-----	--	----

# Lista de Figuras

2.1	Esquema representativo do sistema de coordenadas usado para representar um corpo elipsoidal. . . . .	19
3.1	Exemplo de <i>script</i> para gerar um modelo elipsoidal triaxial e calcular a anomalia de campo total $\Delta T(\mathbf{r})$ (Eq. 2.75). . . . .	22
3.2	Anomalia de campo total $\Delta T(\mathbf{r})$ (Eq. 2.75) produzida pelo código da Fig. 3.1. . . . .	23
3.3	Código fonte da rotina “ <i>tf_c</i> ” utilizada para calcular a anomalia de campo total $\Delta T(\mathbf{r})$ (Eq.2.75) produzida pelo modelo elipsoidal definido na Fig. 3.1. Esta rotina utiliza outras rotinas que também foram desenvolvidas neste trabalho como parte do módulo <i>elipsoide_triaxial</i> (Fig. 3.1). . . . .	24
3.4	Validação dos fatores de desmagnetização. Foi gerado 200 elipsoides triaxiais com semi-eixos $a = a_0 + u$ , $b = b_0 + u$ e $c = c_0 + u$ , em que $a_0 = 500$ m, $b_0 = 100$ m, $c_0 = 50$ m e $500 \leq u \leq 30000$ m. A figura mostra a soma dos fatores de desmagnetização $\tilde{n}_{11}^\dagger$ , $\tilde{n}_{22}^\dagger$ e $\tilde{n}_{33}^\dagger$ calculados pelas Eqs. 2.30, 2.31 e 2.32 e deve ser igual à 1 (um), independente do tamanho dos eixos e do tipo de elipsoide. . . . .	25
4.1	Campo gerado pelo elipsoide triaxial definido na Tabela 4.1. A), B) e C) Componentes $x$ , $y$ e $z$ , respectivamente, da indução magnética $\Delta \mathbf{B}(\mathbf{r})$ (Eq. 2.74). D) Anomalia de campo total $\Delta T(\mathbf{r})$ (Eq. 2.75). Todos os valores estão em nT. . . . .	27
4.2	As componentes do campo magnético gerado por um elipsoide prolato e a anomalia de campo total aproximada. . . . .	30
4.3	As componentes do campo magnético gerado por um elipsoide oblato e a anomalia de campo total aproximada. . . . .	31
4.4	As componentes do campo magnético gerado por dois corpos triaxiais e a anomalia de campo total aproximada. . . . .	33

4.5	<i>Scripts</i> utilizados para gerar os resultados mostrados: A) na Figura 4.1, B) na Figura 4.2, C) na Figura 4.3 e D) na Figura 4.4. A descrição do código é similar àquela mostrada na Figura 3.1. . . . .	34
4.6	Comparação dos fatores de desmagnetização $\tilde{n}_{11}^\dagger$ (azul), $\tilde{n}_{22}^\dagger$ (verde) e $\tilde{n}_{33}^\dagger$ (vermelho) de um elipsoide triaxial originalmente com semi-eixos 500, 100 e 50 metros, com um fator $500 \leq u \leq 30000$ , somando, simultaneamente, todos os semi-eixos. Os fatores de desmagnetização foram calculados pelas Eq. 2.30, 2.31 e 2.32. . . . .	35
4.7	Comparação dos fatores de desmagnetização $\tilde{n}_{11}^\dagger$ (azul) e $\tilde{n}_{22}^\dagger$ (verde) de um elipsoide prolato originalmente com semi-eixo $b_0 = 100$ m, com um fator $1, 1 \leq m \leq 100$ , que aumenta a valor do semi-eixo maior e mantém o semi-eixo menor constante. Os fatores de desmagnetização foram calculados pelas Eq. 2.35, 2.36. . . . .	36
4.8	Comparação dos fatores de desmagnetização $\tilde{n}_{11}^\dagger$ (azul) e $\tilde{n}_{22}^\dagger$ (verde) de um elipsoide oblato originalmente com semi-eixo $b_0 = 1000$ m, com um fator $0,05 \leq m \leq 1$ , que aumenta a valor do semi-eixo menor e mantém o semi-eixo maior constante. Os fatores de desmagnetização foram calculados pelas Eq. 2.37, 2.38. . . . .	37
4.9	Comparação entre a anomalia de campo total $\Delta T(\mathbf{r})$ (Eq. 2.75) produzida (A) pelo elipsoide triaxial definido na Tabela 4.5 e (B) por uma esfera com centro em $(0, 0, 1000)$ e raio 500 m. Os dois corpos sintéticos possuem a mesma magnetização $\mathbf{M}$ (Eq. 2.59). A anomalia produzida pela esfera foi calculada utilizando-se o pacote Fatiando a Terra. Os dados estão calculados em uma malha regular de $200 \times 200$ pontos, no plano horizontal $z = 0$ m. . . . .	42
4.10	Comparação entre a anomalia de campo total $\Delta T(\mathbf{r})$ (Eq. 2.75) produzida (A) pelo elipsoide triaxial definido na Tabela 4.7 e (B) produzida pelo elipsoide prolato definido na Tabela 4.6. . . . .	43
4.11	Comparação entre a anomalia de campo total $\Delta T(\mathbf{r})$ (Eq. 2.75) produzida (A) pelo elipsoide triaxial definido na Tabela 4.8 e (B) produzida pelo elipsoide oblato definido na Tabela 4.9. . . . .	44

4.12	Efeito da susceptibilidade isotrópica $\chi$ na modelagem do elipsoide triaxial definido na Tabela 4.10. As linhas azul e verde representam, respectivamente, a inclinação $I$ e a declinação $D$ da magnetização resultante $\mathbf{M}$ (Eq. 2.60) deste elipsoide em função da susceptibilidade isotrópica $\chi$ . As linhas horizontais preta e vermelha representam, respectivamente, a inclinação $I_0$ e a declinação $D_0$ do campo geomagnético local (Tabela 4.10). A linha vertical preta representa o valor de susceptibilidade isotrópica $\chi = 0,1$ SI, que é comumente aceito como o limite a partir do qual a desmagnetização deve ser considerada na modelagem. A linha vertical amarela representa a susceptibilidade isotrópica $\chi_{max}$ calculado com a Eq. 2.71 para que o erro relativo na magnetização seja menor ou igual a $\epsilon = 5\%$ . . . . .	45
------	---	----

# Lista de Tabelas

4.1	Parâmetros do elipsoide triaxial modelado. *Valores de intensidade, inclinação e declinação respectivamente. **Ângulo de <i>strike</i> , <i>dip</i> e <i>rake</i> , respectivamente, para calcular os vetores unitários $\mathbf{u}_1$ , $\mathbf{u}_2$ , $\mathbf{u}_3$ por meio das Eqs. 2.6, 2.7 e 2.8. . . . . .	26
4.2	Parâmetros do elipsoide prolato modelado. *Valores de intensidade, inclinação e declinação respectivamente. **Ângulo de <i>strike</i> , <i>dip</i> e <i>rake</i> , respectivamente, para calcular os vetores unitários $\mathbf{u}_1$ , $\mathbf{u}_2$ , $\mathbf{u}_3$ por meio das Eqs. 2.6, 2.7 e 2.8. . . . . .	28
4.3	Parâmetros do elipsoide oblato modelado. *Valores de intensidade, inclinação e declinação respectivamente. **Ângulo de <i>strike</i> , <i>dip</i> e <i>rake</i> , respectivamente, para calcular os vetores unitários $\mathbf{u}_1$ , $\mathbf{u}_2$ , $\mathbf{u}_3$ por meio das Eqs. 2.9, 2.10 e 2.11. . . . . .	29
4.4	Parâmetros dos dois elipsoides triaxiais modelados. *Valores de intensidade, inclinação e declinação respectivamente. **Ângulo de <i>strike</i> , <i>dip</i> e <i>rake</i> , respectivamente, para calcular os vetores unitários $\mathbf{u}_1$ , $\mathbf{u}_2$ , $\mathbf{u}_3$ por meio das Eqs. 2.6, 2.7 e 2.8. . . . . .	32
4.5	Parâmetros do elipsoide triaxial modelado. *Valores de intensidade, inclinação e declinação respectivamente. **Ângulo de <i>strike</i> , <i>dip</i> e <i>rake</i> , respectivamente, para calcular os vetores unitários $\mathbf{u}_1$ , $\mathbf{u}_2$ , $\mathbf{u}_3$ por meio das Eqs. 2.6, 2.7 e 2.8. . . . . .	37
4.6	Parâmetros do elipsoide triaxial modelado. *Valores de intensidade, inclinação e declinação respectivamente. **Ângulo de <i>strike</i> , <i>dip</i> e <i>rake</i> , respectivamente, para calcular os vetores unitários $\mathbf{u}_1$ , $\mathbf{u}_2$ , $\mathbf{u}_3$ por meio das Eqs. 2.6, 2.7 e 2.8. . . . . .	38
4.7	Parâmetros do elipsoide prolato modelado. *Valores de intensidade, inclinação e declinação respectivamente. **Ângulo de <i>strike</i> , <i>dip</i> e <i>rake</i> , respectivamente, para calcular os vetores unitários $\mathbf{u}_1$ , $\mathbf{u}_2$ , $\mathbf{u}_3$ por meio das Eqs. 2.6, 2.7 e 2.8. . . . . .	39

4.8	Parâmetros do elipsoide triaxial modelado. *Valores de intensidade, inclinação e declinação respectivamente. **Ângulo de <i>strike</i> , <i>dip</i> e <i>rake</i> , respectivamente, para calcular os vetores unitários $\mathbf{u}_1$ , $\mathbf{u}_2$ , $\mathbf{u}_3$ por meio das Eqs. 2.6, 2.7 e 2.8. . . . . .	39
4.9	Parâmetros do elipsoide oblato modelado. *Valores de intensidade, inclinação e declinação respectivamente. **Ângulo de <i>strike</i> , <i>dip</i> e <i>rake</i> , respectivamente, para calcular os vetores unitários $\mathbf{u}_1$ , $\mathbf{u}_2$ , $\mathbf{u}_3$ por meio das Eqs. 2.9, 2.10 e 2.11. . . . . .	40
4.10	Parâmetros do elipsoide triaxial modelado. *Valores de intensidade, inclinação e declinação respectivamente. **Ângulo de <i>strike</i> , <i>dip</i> e <i>rake</i> , respectivamente, para calcular os vetores unitários $\mathbf{u}_1$ , $\mathbf{u}_2$ , $\mathbf{u}_3$ por meio das Eqs. 2.6, 2.7 e 2.8. . . . . .	41

# Capítulo 1

## Introdução

Baseado na teoria matemática da indução magnética desenvolvida por POISSON (1824), MAXWELL (1873), afirmou que se  $U$  é o potencial gravitacional produzido por um corpo de densidade  $\rho$  e forma geométrica arbitrária em um ponto  $(x, y, z)$ , então  $-\frac{\partial U}{\partial x}$  é o potencial magnético escalar que seria produzido por este mesmo corpo, no mesmo ponto, se sua magnetização fosse uniforme ao longo do eixo  $x$  e tivesse intensidade  $\rho$ . MAXWELL (1873), generalizou essa ideia como uma forma de determinar o potencial magnético escalar produzido por um corpo magnetizado uniformemente em qualquer direção. Presumindo que esta magnetização uniforme seria devida à indução e proporcional ao campo magnético resultante (intensidade) dentro do corpo, Maxwell postulou que este campo também deveria ser uniforme e paralelo à magnetização, uma vez que este é proporcional ao gradiente do potencial magnético escalar dentro do corpo. Como consequência, o potencial gravitacional  $U$  nos pontos dentro do corpo deveria ser descrito por uma função quadrática das coordenadas espaciais. Aparentemente, MAXWELL (1873) foi o primeiro a postular que elipsoides são os únicos corpos finitos que possuem um potencial gravitacional que satisfaz essa propriedade e que, portanto, são os únicos que podem ser magnetizados uniformemente na presença de um campo magnético uniforme.

A capacidade de ser magnetizado uniformemente na presença de um campo magnético uniforme pode ser estendida para outros corpos cuja forma se deriva de um elipsoide (e.g., esferas, cilindros elípticos). Por outro lado, todos os demais corpos não podem ser magnetizados uniformemente na presença de um campo indutor uniforme (CLARK e EMERSON, 1999; JAHREN, 1963; JOSEPH e SCHLÖMANN, 1965). Uma consequência importante proveniente da uniformidade do campo magnético interno em elipsoides, é que estes corpos são os únicos que possuem solução verdadeiramente analítica para a desmagnetização CLARK *et al.* (1986). A desmagnetização é o efeito produzido pelo campo que é criado no interior dos corpos (campo desmagnetizante) em resposta ao campo indutor. A desmagnetização contribui para o decréscimo da magnetização resultante e dependente apenas da forma

do corpo, isto é, depende apenas dos seus semi-eixos. A desmagnetização dá origem a anisotropia magnética de forma. O termo anisotropia de forma pode ser definido como a existência de direções preferenciais de magnetização dentro do corpo, isto é, há direções em que o corpo é magnetizado com mais facilidade e direções em que é mais difícil (CLARK e EMERSON, 1999; DUNLOP e ÖZDEMİR, 1997; THOMPSON e OLDFIELD, 1986). Há outros dois tipos de anisotropia magnética: a anisotropia magnetocristalina e a anisotropia magnetostritiva. A anisotropia magnetocristalina é resultado da geometria interna e da composição química dos minerais que formam o corpo. Já a anisotropia de magnetostritiva, que ocorre quando as propriedades magnéticas do corpo são alteradas quando este é submetido (TAUXE, 2003; THOMPSON e OLDFIELD, 1986).

É comumente aceito pela comunidade científica, que a desmagnetização pode ser negligenciada se o corpo possui uma susceptibilidade menor que 0.1 SI (AUSTIN *et al.*, 2014; CLARK *et al.*, 1986; CLARK, 2014; EMERSON *et al.*, 1985; ESKOLA e TERVO, 1980; GUO *et al.*, 1998, 2001; HILLAN e FOSS, 2013; PURSS e CULL, 2005). Também é comumente aceito que negligenciar a desmagnetização em corpos que possuem susceptibilidade maior que 0.1 SI, tal como formações ferríferas bandadas, pode comprometer drasticamente os resultados obtidos por modelagem magnética.

Devido a flexibilidade de parametrização, elipsoides podem assumir uma grande variedade de formas e assim serem usados para representar por exemplo, desde corpos esféricos (três semi-eixos similares) até corpos mineralizados em formato de *pipe* (um semi-eixo mais alongado). FARRAR (1979) demonstrou a importância do modelo elipsoidal ao utilizá-lo para representar em consideração a desmagnetização de forma adequada a determinar direções de perfuração confiáveis no campo de Tennant Creek, Austrália. Posteriormente, HOSCHKE (1991) também mostrou a eficiência do modelo elipsoidal para localizar e definir os limites de corpos mineralizados de ferro no campo de Tennant Creek. CLARK (2000) forneceu uma discussão detalhada sobre a influência da desmagnetização na interpretação magnética do depósito de cobre-ouro de Osborne, Austrália. Este depósito é hospedado por corpos mineralizados de ferro de alta susceptibilidade. De acordo com CLARK (2000), negligenciar a desmagnetização levaria a um erro de  $\approx 55^\circ$  na interpretação do mergulho real da estrutura. Baseado em modelagem magnética e em medidas de propriedades magnéticas, AUSTIN *et al.* (2014) mostraram que, ao contrário de interpretações anteriores, a magnetização do depósito de óxido de ferro-cobre-ouro (IOCG) em Candelaria, Chile, não é dominada pela componente da indução. Na verdade, o depósito tem uma fraca magnetização remanente e é fortemente afetada pela desmagnetização.

Estes exemplos mostram a importância prática da desmagnetização para a cor-



reta interpretação dos dados magnéticos produzidos por corpos geológicos de alta susceptibilidade. Além disso, mostram a importância do modelo elipsoidal para produzir modelos geológicos confiáveis de corpos mineralizados, o que pode significar em uma redução significativa dos custos associados com perfuração.

Uma vasta literatura sobre a modelagem magnética de corpos elipsoidais foi desenvolvida ao longo dos anos por muitos pesquisadores. No entanto, é muito difícil encontrar, em um mesmo trabalho, os aspectos teóricos envolvidos na modelagem magnética de elipsoides triaxiais, prolatos e oblatos, que possuam susceptibilidade magnética isotrópica e anisotrópica e que esteja orientado de forma arbitrária. Além disso, falta para a comunidade de geociências uma ferramenta de fácil uso para simular o campo magnético produzido por elipsoides uniformemente magnetizados. Tal ferramenta seria útil tanto para ensino como para a pesquisa em geofísica de exploração.

Nesta dissertação, apresento uma revisão teórica integrada sobre a modelagem magnética de corpos elipsoidais. A revisão considera corpos triaxiais, prolatos e oblatos, com susceptibilidade isotrópica e anisotrópica e com a presença de magnetização remanente. Além disso, apresento uma discussão sobre o valor de susceptibilidade isotrópica acima do qual a desmagnetização deve ser levada em consideração na modelagem. Este valor limite é definido com base na forma do corpo e no erro relativo máximo que o intérprete define para a magnetização resultante calculada na modelagem. Nesta dissertação, também apresento uma série de rotinas, escritas em linguagem *Python* para modelar o campo magnético produzido por elipsoides. As rotinas foram baseadas no pacote *Fatiando a Terra* (UIEDA *et al.*, 2013), que é um projeto de código aberto e acesso livre para a modelagem e inversão em geofísica. Tentamos usar as melhores práticas de integração contínua, documentação, teste de unicidade, e controle de versão para prover um código confiável e fácil de usar. Esperamos que os aspectos teóricos e práticos apresentados aqui, sejam úteis para toda a comunidade de geocientistas.

# Capítulo 2

## Metodologia

### 2.1 Parâmetros geométricos e sistemas de coordenadas

Seja  $(x, y, z)$  um ponto referido à um sistema de coordenadas Cartesianas com eixo  $x$  apontado para o norte,  $y$  para leste e  $z$  para baixo. Por conveniência, este sistema de coordenadas foi denominado *sistema de coordenadas principal*. Considerando um corpo elipsoidal com centro no ponto  $(x_c, y_c, z_c)$ , semi-eixos definidos por constantes positivas  $a, b, c$  e orientações definidas por três ângulos  $\varepsilon, \zeta$ , e  $\eta$  (Figura 2.1). Os ângulos  $\varepsilon, \zeta$ , e  $\eta$  são chamados *strike*, *dip* e *rake*, respectivamente, e são comumente usados para definir a orientação de estruturas geológicas (ALLMENDINGER *et al.*, 2012; CLARK *et al.*, 1986).

Os pontos localizados sobre a superfície deste corpo elipsoidal satisfazem a seguinte equação:

$$(\mathbf{r} - \mathbf{r}_c)^T \mathbf{A} (\mathbf{r} - \mathbf{r}_c) = 1, \quad (2.1)$$

em que  $\mathbf{r} = [x \ y \ z]^T$ ,  $\mathbf{r}_c = [x_c \ y_c \ z_c]^T$ ,  $\mathbf{A}$  é uma matriz positiva definida dada por:

$$\mathbf{A} = \mathbf{V} \begin{bmatrix} a^{-2} & 0 & 0 \\ 0 & b^{-2} & 0 \\ 0 & 0 & c^{-2} \end{bmatrix} \mathbf{V}^T, \quad (2.2)$$

e  $\mathbf{V}$  é uma matriz ortogonal cujas colunas são definidas por vetores unitários  $\mathbf{v}_1, \mathbf{v}_2$ , e  $\mathbf{v}_3$  (Fig. 2.1b), respectivamente. Estes vetores unitários são comumente descritos em termos de ângulos auxiliares  $\alpha, \gamma$ , e  $\delta$ , que não são usados pela comunidade geocientífica. Entretanto podemos defini-los a partir de  $\varepsilon, \zeta$ , e  $\eta$  como dado por (CLARK *et al.*, 1986):

$$\alpha = \varepsilon - \cos^{-1} \left[ \frac{\cos \eta}{(1 - \sin^2 \zeta \sin^2 \eta)^{\frac{1}{2}}} \right], \quad (2.3)$$

$$\gamma = \tan^{-1} \left( \frac{\cos \zeta}{\sin \zeta \cos \eta} \right) \quad (2.4)$$

e

$$\delta = \sin^{-1} (\sin \zeta \sin \eta), \quad (2.5)$$

em que  $-90^\circ \leq \gamma \leq 90^\circ$  e  $0 \leq \delta \leq 90^\circ$ . Assim, dados os ângulos  $\varepsilon$ ,  $\zeta$ , e  $\eta$  (Fig. 2.1a e Eqs. 2.3, 2.4, e 2.5), podemos definir os vetores unitários  $\mathbf{v}_1$ ,  $\mathbf{v}_2$ , e  $\mathbf{v}_3$  (Fig. 2.1b) de acordo com o tipo de elipsoide. Para elipsoides triaxiais (i.e.,  $a > b > c$ ), estes vetores unitários são dados por (CLARK *et al.*, 1986):

$$\mathbf{v}_1 = \begin{bmatrix} -\cos \alpha \cos \delta \\ -\sin \alpha \cos \delta \\ -\sin \delta \end{bmatrix}, \quad (2.6)$$

$$\mathbf{v}_2 = \begin{bmatrix} \cos \alpha \cos \gamma \sin \delta + \sin \alpha \sin \gamma \\ \sin \alpha \cos \gamma \sin \delta - \cos \alpha \sin \gamma \\ -\cos \gamma \cos \delta \end{bmatrix}, \quad (2.7)$$

$$\mathbf{v}_3 = \begin{bmatrix} \sin \alpha \cos \gamma - \cos \alpha \sin \gamma \sin \delta \\ -\cos \alpha \cos \gamma - \sin \alpha \sin \gamma \sin \delta \\ \sin \gamma \cos \delta \end{bmatrix}. \quad (2.8)$$

Similarmente, os vetores unitários  $\mathbf{v}_1$ ,  $\mathbf{v}_2$  e  $\mathbf{v}_3$  para elipsoides prolatos (i.e.,  $a > b = c$ ) são calculados de acordo com as Eqs. 2.6, 2.7, e 2.8, mas com  $\gamma = 0^\circ$  (EMERSON *et al.*, 1985).

Finalmente, os vetores unitários  $\mathbf{v}_1$ ,  $\mathbf{v}_2$  e  $\mathbf{v}_3$  para elipsoides oblatos (i.e.,  $a < b = c$ ) são calculados da seguinte forma:

$$\mathbf{v}_1 = \begin{bmatrix} -\cos \alpha \sin \gamma \sin \delta + \sin \alpha \cos \gamma \\ -\sin \alpha \sin \gamma \sin \delta - \cos \alpha \cos \gamma \\ \sin \gamma \cos \delta \end{bmatrix}, \quad (2.9)$$

$$\mathbf{v}_2 = \begin{bmatrix} -\cos \alpha \cos \delta \\ -\sin \alpha \cos \delta \\ -\sin \delta \end{bmatrix}, \quad (2.10)$$

$$\mathbf{v}_3 = \begin{bmatrix} \sin \alpha \sin \gamma + \cos \alpha \cos \gamma \sin \delta \\ -\cos \alpha \sin \gamma + \sin \alpha \cos \gamma \sin \delta \\ -\cos \gamma \cos \delta \end{bmatrix}. \quad (2.11)$$

Dessa forma, a matrix  $\mathbf{V}$  fica definida como:

$$\mathbf{V} = \begin{bmatrix} \mathbf{v}_1 & \mathbf{v}_2 & \mathbf{v}_3 \end{bmatrix} . \quad (2.12)$$

em que  $\mathbf{v}_1$ ,  $\mathbf{v}_2$  e  $\mathbf{v}_3$  são calculados com as Eqs. 2.6, 2.7, e 2.8 dependendo do tipo de elipsoide:

A modelagem magnética de um corpo elipsoidal é comumente feita em um sistema de coordenadas Cartesianas particular, alinhado com semi-eixos e sua coincidente com o seu centro (Fig. 2.1b). Por conveniência, este sistema de coordenadas foi denominado *sistema de coordenadas local*. A relação entre as coordenadas Cartesianas  $(\tilde{x}, \tilde{y}, \tilde{z})$  de um ponto no sistema de coordenadas local e as coordenadas Cartesianas  $(x, y, z)$  do mesmo ponto no sistema principal é dada por:

$$\tilde{\mathbf{r}} = \mathbf{V}^\top (\mathbf{r} - \mathbf{r}_c) , \quad (2.13)$$

em que  $\tilde{\mathbf{r}} = [\tilde{x} \ \tilde{y} \ \tilde{z}]^\top$ ,  $\mathbf{r}$  e  $\mathbf{r}_c$  são definidas na Eq. 2.1 e a matriz  $\mathbf{V}$  2.12 é definida de acordo do tipo de elipsoide. Ao longo deste trabalho, as grandezas referidas ao sistema de coordenadas local são representadas utilizando-se símbolo "˜".

## 2.2 Background Teórico

Considere um corpo geológico localizado na crosta, que possua volume  $\vartheta$ , formato aproximadamente elipsoidal e que esteja imerso em um campo magnético uniforme  $\mathbf{H}_0$  ( $\text{Am}^{-1}$ ) dado por:

$$\mathbf{H}_0 = \|\mathbf{H}_0\| \begin{bmatrix} \cos I \cos D \\ \cos I \sin D \\ \sin I \end{bmatrix} , \quad (2.14)$$

em que  $\|\cdot\|$  é a norma Euclidiana e  $D$  e  $I$  são respectivamente, a declinação e inclinação do campo no sistema de coordenadas principal (Fig. 2.1a). Este campo uniforme representa a componente principal do campo magnético da Terra, que presume ser gerado na núcleo externo líquido da Terra. Ao longo deste trabalho, este campo uniforme é denominado *campo geomagnético local*. Na ausência de correntes de condução, o campo magnético total  $\mathbf{H}(\mathbf{r})$  na posição  $\mathbf{r}$  (Eqs. 2.2 e 2.13) de um ponto no sistema de coordenadas principal é definido como (ESKOLA e TERVO, 1980; REITZ *et al.*, 1992; SHARMA, 1966; STRATTON, 2007):

$$\mathbf{H}(\mathbf{r}) = \mathbf{H}_0 - \nabla V(\mathbf{r}) , \quad (2.15)$$

em que o segundo termo é o gradiente negativo do potencial magnético escalar  $V(\mathbf{r})$  dado por:

$$V(\mathbf{r}) = -\frac{1}{4\pi} \iiint_{\vartheta} \mathbf{M}(\mathbf{r}')^\top \nabla \left( \frac{1}{\|\mathbf{r} - \mathbf{r}'\|} \right) dx' dy' dz' . \quad (2.16)$$

Nesta equação,  $\mathbf{r}' = [x' \ y' \ z']^\top$  é o vetor posição de um ponto localizado dentro do volume  $\vartheta$ , a integral é feita sobre as variáveis  $x'$ ,  $y'$  e  $z'$  e  $\mathbf{M}(\mathbf{r}')$  é o vetor de magnetização (em  $\text{Am}^{-1}$ ). A Eq. 2.16 é válida para pontos localizados dentro ou fora do corpo magnetizado (DUBOIS, 1896; REITZ *et al.*, 1992; STRATTON, 2007).

Considere que o corpo tem uma magnetização uniforme dada por:

$$\mathbf{M} = \mathbf{K} \mathbf{H}^\dagger , \quad (2.17)$$

em que  $\mathbf{H}^\dagger$  é o campo magnético uniforme resultante em qualquer ponto dentro do corpo e  $\mathbf{K}$  é um tensor de segunda ordem constante, que representa a susceptibilidade magnética do corpo. Esta é uma boa aproximação para corpos em temperatura ambiente, sujeitos a um campo indutor com intensidade  $\leq 1$  mT (ROCHETTE *et al.*, 1992). Neste caso, o tensor de susceptibilidade  $\mathbf{K}$  é representado, no sistema de coordenadas principal (Fig. 2.1a), como:

$$\mathbf{K} = \mathbf{U} \begin{bmatrix} k_1 & 0 & 0 \\ 0 & k_2 & 0 \\ 0 & 0 & k_3 \end{bmatrix} \mathbf{U}^\top , \quad (2.18)$$

em que  $k_1 > k_2 > k_3$  são as *susceptibilidades principais* e  $\mathbf{U}$  é uma matriz ortogonal cujas colunas  $\mathbf{u}_i$ ,  $i = 1, 2, 3$ , são vetores unitários chamados de *direções principais*. Os vetores unitários  $\mathbf{u}_i$  podem ser definidos de modo similar a que foi utilizada para definir os vetores  $\mathbf{v}_1$ ,  $\mathbf{v}_2$ , e  $\mathbf{v}_3$  (Eqs. 2.6, 2.7, 2.8, 2.9, 2.10, e 2.11), por um conjunto de ângulos  $\varepsilon$ ,  $\zeta$ , e  $\eta$  (Eqs. 2.3, 2.4, e 2.5).

Se as susceptibilidades principais são diferentes umas das outras, dizemos que o corpo possui uma anisotropia de susceptibilidade magnética (AMS). A AMS é geralmente associada à anisotropia magnetocristalina, que é causada por uma orientação preferencial dos grãos magnéticos dos minerais que formam a rocha (DUNLOP e ÖZDEMİR, 1997; FULLER, 1963; HROUDA, 1982; JANÁK, 1972; MACDONALD e ELLWOOD, 1987; ROCHETTE *et al.*, 1992; TAUXE, 2003; THOMPSON e OLD-FIELD, 1986; UYEDA *et al.*, 1963). Para o caso particular em que as direções principais coincidem com os eixos do elipsoide, a matriz  $\mathbf{U}$  é igual a matriz  $\mathbf{V}$  (Eq. 2.2). Outro caso particular importante, é quando a susceptibilidade é isotrópica e, consequentemente, as susceptibilidades principais  $k_1$ ,  $k_2$ , e  $k_3$  (Eq. 2.18) são iguais a constante  $\chi$ . Neste caso, o tensor de susceptibilidades  $\mathbf{K}$  (Eq. 2.18) assume a forma

particular:

$$\mathbf{K} = \chi \mathbf{I}, \quad (2.19)$$

em que  $\mathbf{I}$  representa a matriz identidade.

Usando a magnetização  $\mathbf{M}$  definida pela Eq. 2.17, o campo magnético total  $\mathbf{H}(\mathbf{r})$  (Eq. 2.15) pode ser reescrito como:

$$\mathbf{H}(\mathbf{r}) = \mathbf{H}_0 + \mathbf{N}(\mathbf{r}) \mathbf{K} \mathbf{H}^\dagger, \quad (2.20)$$

em que  $\mathbf{N}(\mathbf{r})$  é uma matriz simétrica. O elemento  $ij$  de  $\mathbf{N}(\mathbf{r})$  é dado por:

$$n_{ij}(\mathbf{r}) = \frac{1}{4\pi} \frac{\partial^2 f(\mathbf{r})}{\partial r_i \partial r_j}, \quad i = 1, 2, 3, \quad j = 1, 2, 3, \quad (2.21)$$

$r_1 = x$ ,  $r_2 = y$ ,  $r_3 = z$  são os elementos do vetor posição  $\mathbf{r}$  (Eq. 2.1), e

$$f(\mathbf{r}) = \iiint_{\vartheta} \frac{1}{\|\mathbf{r} - \mathbf{r}'\|} dx' dy' dz'. \quad (2.22)$$

Note que a função escalar  $f(\mathbf{r})$  (Eq. 2.22) é proporcional ao potencial gravitacional que seria produzido pelo corpo elipsoidal de volume  $\vartheta$  se este tivesse uma densidade uniforme igual  $1/G$ , sendo  $G$  a constante gravitacional. Pode ser mostrado que os elementos  $n_{ij}(\mathbf{r})$  são finitos tanto se  $\mathbf{r}$  é um ponto dentro ou fora do volume  $\vartheta$  (PEIRCE, 1902; WEBSTER, 1904). A matriz  $\mathbf{N}(\mathbf{r})$  (Eq. 2.20) é chamada de *tensor de depolarização* (SOLIVÉREZ, 1981, 2008).

A parte seguinte desta dissertação é dedicada a descrever o campo magnético  $\mathbf{H}(\mathbf{r})$  (Eq. 2.20) nos pontos localizados tanto dentro como fora do volume  $\vartheta$  do corpo elipsoidal. Entretanto, o desenvolvimento matemático é convenientemente feito no sistema de coordenadas local (Fig. 2.1b).

## 2.3 Transformação de coordenadas

Para continuar a descrição da modelagem magnética de corpos elipsoidais, é conveniente definir duas importantes transformações de coordenadas. A primeira transforma a função escalar  $f(\mathbf{r})$  (Eq. 2.22) do sistema de coordenadas principal para uma nova função escalar  $\tilde{f}(\tilde{\mathbf{r}})$  no sistema de coordenada local. A função  $\tilde{f}(\tilde{\mathbf{r}})$  foi apresentada pela primeira vez por DIRICHLET (1839) para descrever o potencial gravitacional produzido por elipsoides homogêneos. Posteriormente, diversos autores deduziram e usaram esta função para descrever os campos magnéticos e gravitacionais produzidos por elipsoides triaxiais, prolatos e oblatos (CHANG, 1961; CLARK *et al.*, 1986; DUBOIS, 1896; KELLOGG, 1929; LOWES, 1974; MAXWELL, 1873; OSBORN, 1945; PEAKE e DAVY, 1953; PEIRCE, 1902; STONER, 1945; STRAT-

TON, 2007; TEJEDOR *et al.*, 1995; THOMSON e TAIT, 1879; WEBSTER, 1904). É conveniente usar  $\tilde{f}^\dagger(\tilde{\mathbf{r}})$  e  $\tilde{f}^\ddagger(\tilde{\mathbf{r}})$  para definir a função  $\tilde{f}(\tilde{\mathbf{r}})$ , calculada nos pontos  $\tilde{\mathbf{r}}$  dentro e fora do volume  $\vartheta$  do corpo elipsoidal, respectivamente.

A função escalar  $\tilde{f}^\dagger(\tilde{\mathbf{r}})$  é dada por:

$$\tilde{f}^\dagger(\tilde{\mathbf{r}}) = \pi abc \int_0^\infty \left( 1 - \frac{\tilde{x}^2}{a^2 + u} - \frac{\tilde{y}^2}{b^2 + u} - \frac{\tilde{z}^2}{c^2 + u} \right) \frac{1}{R(u)} du, \quad \tilde{\mathbf{r}} \in V, \quad (2.23)$$

em que

$$R(u) = \sqrt{(a^2 + u)(b^2 + u)(c^2 + u)}. \quad (2.24)$$

Esta função representa o potencial gravitacional que seria produzido pelo corpo elipsoidal nos pontos localizados dentro do volume  $\vartheta$  se possuísse uma densidade uniforme igual ao inverso da constante gravitacional. Note que, para este caso, o potencial gravitacional é uma função quadrática das coordenadas espaciais  $\tilde{x}$ ,  $\tilde{y}$ , e  $\tilde{z}$ . De forma similar, a função  $\tilde{f}^\ddagger(\tilde{\mathbf{r}})$  é dada por:

$$\tilde{f}^\ddagger(\tilde{\mathbf{r}}) = \pi abc \int_\lambda^\infty \left( 1 - \frac{\tilde{x}^2}{a^2 + u} - \frac{\tilde{y}^2}{b^2 + u} - \frac{\tilde{z}^2}{c^2 + u} \right) \frac{1}{R(u)} du, \quad \tilde{\mathbf{r}} \notin V, \quad (2.25)$$

em que  $R(u)$  é definido pela Eq. 2.24 e o parâmetro  $\lambda$  é definido de acordo com o tipo de elipsoide como uma função das coordenadas espaciais  $\tilde{x}$ ,  $\tilde{y}$ , e  $\tilde{z}$  (ver Apêndice B). Uma discussão detalhada sobre o parâmetro  $\lambda$  pode ser encontrada em WEBSTER (1904, p. 234), KELLOGG (1929, p. 184) e CLARK *et al.* (1986).

A segunda importante transformação de coordenadas é definida com respeito a Eq. 2.20. Usando a ortogonalidade de matriz  $\mathbf{V}$  (Eqs. 2.12), o campo magnético  $\mathbf{H}(\mathbf{r})$  (Eq. 2.20) pode ser transformado do sistema de coordenadas principal para o sistema de coordenadas local usando:

$$\underbrace{\mathbf{V}^\top \mathbf{H}(\mathbf{r})}_{\tilde{\mathbf{H}}(\tilde{\mathbf{r}})} = \underbrace{\mathbf{V}^\top \mathbf{H}_0}_{\tilde{\mathbf{H}}_0} + \underbrace{\mathbf{V}^\top \mathbf{N}(\mathbf{r}) \mathbf{V}}_{\tilde{\mathbf{N}}(\tilde{\mathbf{r}})} \underbrace{\mathbf{V}^\top \mathbf{K} \mathbf{V}}_{\tilde{\mathbf{K}}} \underbrace{\mathbf{V}^\top \mathbf{H}^\dagger}_{\tilde{\mathbf{H}}^\dagger}, \quad (2.26)$$

Nesta equação, o tensor de depolarização transformado  $\tilde{\mathbf{N}}(\tilde{\mathbf{r}})$  é calculado como uma função do tensor de depolarização original  $\mathbf{N}(\mathbf{r})$  (Eq. 2.20). Neste caso, os elementos de  $\tilde{\mathbf{N}}(\tilde{\mathbf{r}})$  são calculados como função das derivadas segundas da função  $f(\mathbf{r})$  (Eq. 2.22), que é definida no sistema de coordenadas principal. Pode ser mostrado (Apêndice A), entretanto, que os elementos  $\tilde{n}_{ij}(\tilde{\mathbf{r}})$  de  $\tilde{\mathbf{N}}(\tilde{\mathbf{r}})$  também podem ser calculados como:

$$\tilde{n}_{ij}(\tilde{\mathbf{r}}) = \frac{1}{4\pi} \frac{\partial^2 \tilde{f}(\tilde{\mathbf{r}})}{\partial \tilde{r}_i \partial \tilde{r}_j}, \quad i = 1, 2, 3, \quad j = 1, 2, 3, \quad (2.27)$$

em que  $\tilde{r}_1 = \tilde{x}$ ,  $\tilde{r}_2 = \tilde{y}$ , e  $\tilde{r}_3 = \tilde{z}$  são os elementos do vetor transformado  $\tilde{\mathbf{r}}$  (Eq.

2.13) e  $\tilde{f}(\tilde{\mathbf{r}})$  é dada pela Eq. 2.23 ou 2.25, dependendo se  $\tilde{\mathbf{r}}$  representa um ponto localizado dentro ou fora do volume  $\vartheta$  do corpo elipsoidal.

## 2.4 Tensores de depolarização transformados $\tilde{\mathbf{N}}(\tilde{\mathbf{r}})$

### 2.4.1 Tensor de depolarização $\tilde{\mathbf{N}}^\dagger$

Sendo  $\tilde{\mathbf{N}}^\dagger$  o tensor de depolarização transformado para o caso em que  $\tilde{\mathbf{r}}$  (Eq. 2.13) representa um ponto fora do corpo elipsoidal. Neste caso, os elementos de  $\tilde{\mathbf{N}}^\dagger$  são calculados de acordo com a Eq. 2.27, com  $\tilde{f}(\tilde{\mathbf{r}})$  dada por  $\tilde{f}^\dagger(\tilde{\mathbf{r}})$  (Eq. 2.23). Como mencionado anteriormente,  $\tilde{f}^\dagger(\tilde{\mathbf{r}})$  (Eq. 2.23) é uma função quadrática das coordenadas espaciais  $\tilde{x}$ ,  $\tilde{y}$  and  $\tilde{z}$ . Consequentemente, os elementos  $\tilde{n}_{ij}^\dagger$ ,  $i = 1, 2, 3$ ,  $j = 1, 2, 3$ , de  $\tilde{\mathbf{N}}^\dagger$  não dependem do vetor de posição transformado  $\tilde{\mathbf{r}}$  (equação 2.13). Além disso, os elementos fora da diagonal são nulos e os elementos da diagonal são dados por (STONER, 1945):

$$\tilde{n}_{ii}^\dagger = \frac{abc}{2} \int_0^\infty \frac{1}{(e_i^2 + u) R(u)} du, \quad i = 1, 2, 3, \quad (2.28)$$

em que  $R(u)$  é definido pela Eq. 2.24 e  $e_1 = a$ ,  $e_2 = b$ , e  $e_3 = c$ . Estes elementos são comumente conhecidos como *fatores de desmagnetização* e são definidos de acordo com o tipo de elipsoide. Observe que, de acordo com as Eqs. 2.26 e A.7,

$$\mathbf{N}(\mathbf{r}) = \mathbf{V} \tilde{\mathbf{N}}^\dagger \mathbf{V}^\top, \quad (2.29)$$

em que  $\tilde{\mathbf{N}}^\dagger$  (Eqs. 2.50, 2.56 e 2.59) é uma matriz diagonal e  $\mathbf{V}$  (Eqs. 2.12) é uma matriz ortogonal. Esta equação mostra que, para o caso particular em que  $\mathbf{r}$  e consequentemente  $\tilde{\mathbf{r}}$  representam um ponto dentro do volume  $\vartheta$  do elipsoide, os elementos  $\tilde{n}_{ii}^\dagger$  (Eq. 2.28) de  $\tilde{\mathbf{N}}^\dagger$  representam os autovalores, enquanto as colunas de  $\mathbf{V}$  representam os autovetores do tensor de depolarização  $\mathbf{N}(\mathbf{r})$  definido no sistema de coordenadas principal.

**Elipsoides triaxiais** Para elipsoides triaxiais (e.g.,  $a > b > c$ ), os fatores de desmagnetização obtidos a partir da Eq. 2.28 são dados por:

$$\tilde{n}_{11}^\dagger = \frac{abc}{(a^2 - c^2)^{\frac{1}{2}} (a^2 - b^2)} [F(\kappa, \phi) - E(\kappa, \phi)], \quad (2.30)$$

$$\tilde{n}_{22}^\dagger = -\frac{abc}{(a^2 - c^2)^{\frac{1}{2}} (a^2 - b^2)} [F(\kappa, \phi) - E(\kappa, \phi)] + \frac{abc}{(a^2 - c^2)^{\frac{1}{2}} (b^2 - c^2)} E(\kappa, \phi) - \frac{c^2}{b^2 - c^2} \quad (2.31)$$



e

$$\tilde{n}_{33}^{\dagger} = -\frac{abc}{(a^2 - c^2)^{\frac{1}{2}}(b^2 - c^2)}E(\kappa, \phi) + \frac{b^2}{b^2 - c^2}, \quad (2.32)$$

em que

$$F(\kappa, \phi) = \int_0^{\phi} \frac{1}{(1 - \kappa^2 \sin^2 \psi)^{\frac{1}{2}}} d\psi, \quad (2.33)$$

e

$$E(\kappa, \phi) = \int_0^{\phi} (1 - \kappa^2 \sin^2 \psi)^{\frac{1}{2}} d\psi, \quad (2.34)$$

com  $\kappa = [(a^2 - b^2)/(a^2 - c^2)]^{\frac{1}{2}}$  e  $\cos \phi = c/a$ . As funções  $F(\kappa, \phi)$  (Eq. 2.33) e  $E(\kappa, \phi)$  (Eq. 2.34) são chamadas de integrais elípticas normais de Legendre de primeiro e segundo tipo, respectivamente. STONER (1945) apresentou uma dedução detalhada dos fatores de desmagnetização  $\tilde{n}_{11}^{\dagger}$  (Eq. 2.30),  $\tilde{n}_{22}^{\dagger}$  (Eq. 2.31) e  $\tilde{n}_{33}^{\dagger}$  (Eq. 2.32). CLARK *et al.* (1986) apresentou fórmulas similares. Pode ser mostrado que estes fatores de desmagnetização satisfazem as condições  $\tilde{n}_{11}^{\dagger} + \tilde{n}_{22}^{\dagger} + \tilde{n}_{33}^{\dagger} = 1$  e  $\tilde{n}_{33}^{\dagger} > \tilde{n}_{22}^{\dagger} > \tilde{n}_{11}^{\dagger}$

**Elipsoides prolatos** Para elipsoides prolatos (e.g.,  $a > b = c$ ), os fatores de desmagnetização obtidos a partir da Eq. 2.28, sendo dados por:

$$\tilde{n}_{11}^{\dagger} = \frac{1}{m^2 - 1} \left\{ \frac{m}{(m^2 - 1)^{\frac{1}{2}}} \ln \left[ m + (m^2 - 1)^{\frac{1}{2}} \right] - 1 \right\} \quad (2.35)$$

e

$$\tilde{n}_{22}^{\dagger} = \frac{1}{2} (1 - \tilde{n}_{11}^{\dagger}), \quad (2.36)$$

em que  $\tilde{n}_{33}^{\dagger} = \tilde{n}_{22}^{\dagger}$ , e  $m = a/b$ . A dedução detalhada dos fatores de desmagnetização  $\tilde{n}_{11}^{\dagger}$  (Eq. 2.35) e  $\tilde{n}_{22}^{\dagger}$  (Eq. 2.36) pode ser encontrada, por exemplo, em STONER (1945). Essas fórmulas foram posteriormente apresentadas por EMERSON *et al.* (1985), mas sem nenhuma prova matemática. Pode ser mostrado que estes fatores de desmagnetização satisfazem as condições  $\tilde{n}_{11}^{\dagger} + 2\tilde{n}_{22}^{\dagger} = 1$  e  $\tilde{n}_{22}^{\dagger} > \tilde{n}_{11}^{\dagger}$

**Elipsoides oblatos** Para elipsoides oblatos (e.g.,  $a < b = c$ ), os fatores de desmagnetização obtidos a partir da Eq. 2.28 são dados por:

$$\tilde{n}_{11}^{\dagger} = \frac{1}{1 - m^2} \left[ 1 - \frac{m}{(1 - m^2)^{\frac{1}{2}}} \cos^{-1} m \right], \quad (2.37)$$

e

$$\tilde{n}_{22}^{\dagger} = \frac{1}{2} (1 - \tilde{n}_{11}^{\dagger}), \quad (2.38)$$

em que  $\tilde{n}_{33}^\dagger = \tilde{n}_{22}^\dagger$  e  $m = a/b$ . A dedução detalhada dos fatores de desmagnetização pode ser encontrada em STONER (1945). Essas fórmulas também podem ser encontradas em EMERSON *et al.* (1985), mas sem nenhuma prova matemática. A única diferença, entretanto, é que EMERSON *et al.* (1985) trocou o termo  $\cos^{-1}$  por um termo  $\tan^{-1}$ , de acordo com a identidade trigonométrica  $\tan^{-1} x = \cos^{-1}(1/\sqrt{x^2 + 1})$ ,  $x > 0$ . Pode ser mostrado que estes fatores de desmagnetização satisfazem as condições  $\tilde{n}_{11}^\dagger + 2\tilde{n}_{22}^\dagger = 1$  e  $\tilde{n}_{11}^\dagger > \tilde{n}_{22}^\dagger$ .

## 2.4.2 Tensor de depolarização $\tilde{\mathbf{N}}^\dagger(\tilde{\mathbf{r}})$

Seja  $\tilde{\mathbf{N}}^\dagger(\mathbf{r})$  o tensor de depolarização definido para o caso em que  $\tilde{\mathbf{r}}$  representa um ponto localizado fora do volume  $\mathcal{V}$  do corpo. Os elementos  $\tilde{n}_{ij}^\dagger(\tilde{\mathbf{r}})$ ,  $i = 1, 2, 3$ ,  $j = 1, 2, 3$ , de  $\tilde{\mathbf{N}}^\dagger(\tilde{\mathbf{r}})$  são calculadas de acordo com a Eq. 2.27, com  $\tilde{f}(\tilde{\mathbf{r}})$  dado por  $\tilde{f}^\dagger(\tilde{\mathbf{r}})$  (Eq. 2.25). Rearranjando as equações apresentadas por CLARK *et al.* (1986), os elementos da diagonal  $\tilde{n}_{ii}^\dagger$  e os elementos fora da diagonal  $\tilde{n}_{ij}^\dagger$ ,  $i = 1, 2, 3$ ,  $j = 1, 2, 3$ , são dados por:

$$\tilde{n}_{ii}^\dagger(\tilde{\mathbf{r}}) = \frac{abc}{2} \left( \frac{\partial \lambda}{\partial \tilde{r}_i} h_i \tilde{r}_i - g_i \right) \quad (2.39)$$

e

$$\tilde{n}_{ij}^\dagger(\tilde{\mathbf{r}}) = \frac{abc}{2} \left( \frac{\partial \lambda}{\partial \tilde{r}_i} h_j \tilde{r}_j \right), \quad (2.40)$$

Em que

$$h_i = \frac{1}{(e_i^2 + \lambda) R(\lambda)}, \quad (2.41)$$

$$g_i = \int_{\lambda}^{\infty} \frac{1}{(e_i^2 + u) R(u)} du, \quad (2.42)$$

$e_1 = a$ ,  $e_2 = b$ ,  $e_3 = c$ , e  $\frac{\partial \lambda}{\partial \tilde{r}_i}$  é definido no Apêndice B (Eq. B.22). As funções  $g_i$  (Eq. 2.42) são definidas de acordo com o tipo de elipsoide.

**Elipsoides Triaxiais** Para elipsoides triaxiais (e.g.,  $a > b > c$ ), as funções  $g_i$  (Eq. 2.42) são dadas por (CLARK *et al.*, 1986):

$$g_1 = \frac{2}{(a^2 - b^2)(a^2 - c^2)^{\frac{1}{2}}} [F(\kappa, \phi) - E(\kappa, \phi)], \quad (2.43)$$

$$g_2 = \frac{2(a^2 - c^2)^{\frac{1}{2}}}{(a^2 - b^2)(b^2 - c^2)} \left[ E(\kappa, \phi) - \frac{(b^2 - c^2)}{(a^2 - c^2)} F(\kappa, \phi) - \frac{\kappa^2 \sin \phi \cos \phi}{(1 - \kappa^2 \sin^2 \phi)^{\frac{1}{2}}} \right] \quad (2.44)$$

e

$$g_3 = \frac{2}{(a^2 - b^2)(a^2 - c^2)^{\frac{1}{2}}} \left[ \frac{\sin \phi (1 - \kappa^2 \sin^2 \phi)^{\frac{1}{2}}}{\cos \phi} - E(\kappa, \phi) \right], \quad (2.45)$$

em que  $F(\kappa, \phi)$  e  $E(\kappa, \phi)$  são definidos pelas Eqs. 2.34 e 2.33, mas com  $\sin \phi = \sqrt{(a^2 - c^2) / (a^2 + \lambda)}$ .

**Elipsoides prolatos** Para elipsoides prolatos (e.g.,  $a > b = c$ ), as funções  $g_i$  (Eq. 2.42) são dadas por:

$$g_1 = \frac{2}{(a^2 - b^2)^{\frac{3}{2}}} \left\{ \ln \left[ \frac{(a^2 - b^2)^{\frac{1}{2}} + (a^2 + \lambda)^{\frac{1}{2}}}{(b^2 + \lambda)^{\frac{1}{2}}} \right] - \left( \frac{a^2 - b^2}{a^2 + \lambda} \right)^{\frac{1}{2}} \right\} \quad (2.46)$$

e

$$g_2 = \frac{1}{(a^2 - b^2)^{\frac{3}{2}}} \left\{ \frac{[(a^2 - b^2)(a^2 + \lambda)]^{\frac{1}{2}}}{b^2 + \lambda} - \ln \left[ \frac{(a^2 - b^2)^{\frac{1}{2}} + (a^2 + \lambda)^{\frac{1}{2}}}{(b^2 + \lambda)^{\frac{1}{2}}} \right] \right\}, \quad (2.47)$$

em que  $g_3 = g_2$ . Estas fórmulas podem ser obtidas manipulando apropriadamente aquelas apresentadas por EMERSON *et al.* (1985).

**Elipsoides oblatos** Para elipsoides oblatos (i.e.,  $a < b = c$ ), as funções  $g_i$  (Eq. 2.42) são dadas por:

$$g_1 = \frac{2}{(b^2 - a^2)^{\frac{3}{2}}} \left\{ \left( \frac{b^2 - a^2}{a^2 + \lambda} \right)^{\frac{1}{2}} - \tan^{-1} \left[ \left( \frac{b^2 - a^2}{a^2 + \lambda} \right)^{\frac{1}{2}} \right] \right\} \quad (2.48)$$

e

$$g_2 = \frac{1}{(b^2 - a^2)^{\frac{3}{2}}} \left\{ \tan^{-1} \left[ \left( \frac{b^2 - a^2}{a^2 + \lambda} \right)^{\frac{1}{2}} \right] - \frac{[(b^2 - a^2)(a^2 + \lambda)]^{\frac{1}{2}}}{b^2 + \lambda} \right\}, \quad (2.49)$$

em que  $g_3 = g_2$ . De forma similar ao caso prolato mostrado anteriormente, estas fórmulas podem ser obtidas manipulando apropriadamente aquelas apresentadas por (EMERSON *et al.*, 1985).

## 2.5 Campo magnético interno e magnetização

Utilizando a Eq. 2.26, é possível definir o campo magnético uniforme resultante  $\tilde{\mathbf{H}}^\dagger$  dentro do corpo como:

$$\tilde{\mathbf{H}}^\dagger = \left( \mathbf{I} + \tilde{\mathbf{N}}^\dagger \tilde{\mathbf{K}} \right)^{-1} \tilde{\mathbf{H}}_0, \quad (2.50)$$

em que  $\mathbf{I}$  é a matriz identidade e  $\tilde{\mathbf{N}}^\dagger$  está definido na subseção 2.4.1.

Transformando o campo magnético  $\tilde{\mathbf{H}}^\dagger$  para o sistema de coordenadas principal, obtém-se:

$$\underbrace{\mathbf{V}^\top \tilde{\mathbf{H}}^\dagger}_{\mathbf{H}^\dagger} = \underbrace{\mathbf{V} \left( \mathbf{I} + \tilde{\mathbf{N}}^\dagger \tilde{\mathbf{K}} \right)^{-1} \mathbf{V}^\top}_{\Upsilon} \underbrace{\mathbf{V} \tilde{\mathbf{H}}_0}_{\mathbf{H}_0} \quad (2.51)$$

$$\mathbf{H}^\dagger = \Upsilon \mathbf{H}_0 , \quad (2.52)$$

em que

$$\mathbf{H}^\dagger = \mathbf{V}^\top \tilde{\mathbf{H}}^\dagger , \quad (2.53)$$

$$\Upsilon = \mathbf{V} \left( \mathbf{I} + \tilde{\mathbf{N}}^\dagger \tilde{\mathbf{K}} \right)^{-1} \mathbf{V}^\top \quad (2.54)$$

e

$$\mathbf{H}_0 = \mathbf{V} \tilde{\mathbf{H}}_0 . \quad (2.55)$$

Pré-multiplicando o campo interno uniforme  $\tilde{\mathbf{H}}^\dagger$  (Eq. 2.52) pelo tensor de susceptibilidade transformado  $\tilde{\mathbf{K}}$  (Eq. 2.18) obtemos:

$$\begin{aligned} \tilde{\mathbf{M}} &= \tilde{\mathbf{K}} \left( \mathbf{I} + \tilde{\mathbf{N}}^\dagger \tilde{\mathbf{K}} \right)^{-1} \tilde{\mathbf{H}}_0 \\ &= \left( \mathbf{I} + \tilde{\mathbf{K}} \tilde{\mathbf{N}}^\dagger \right)^{-1} \tilde{\mathbf{K}} \tilde{\mathbf{H}}_0 , \end{aligned} \quad (2.56)$$

em que  $\mathbf{M}$  representa a magnetização definida no sistema de coordenadas principal (Eqs. 2.17). A identidade matricial usada para obter a segunda linha da Eq. 2.56 é dada por SEARLE (1982, p. 151).

De forma similar a transformação de coordenadas da Eq. refoq:Hi-p, podemos reescrever a equação 2.56 no sistema principal:

$$\mathbf{M} = \Lambda \mathbf{K} \mathbf{H}_0 \quad (2.57)$$

onde

$$\Lambda = \mathbf{V} \left( \mathbf{I} + \tilde{\mathbf{K}} \tilde{\mathbf{N}}^\dagger \right)^{-1} \mathbf{V}^\top . \quad (2.58)$$

A equação 2.57 pode ser facilmente generalizada para o caso em que o elipsoide também possui uma magnetização remanente uniforme  $\mathbf{M}_R$ . Primeiramente, consideremos que a magnetização remanente uniforme satisfaz a condição  $\mathbf{H}_A = \mathbf{K}^{-1} \mathbf{M}_R$ , em que  $\mathbf{H}_A$  representa um campo uniforme hipotético. Assim, se assumirmos que  $\mathbf{H}_0$ , nas Eqs. 2.52 e 2.57, é de fato a soma do campo magnético uniforme  $\mathbf{H}_0$  e o campo hipotético  $\mathbf{H}_A$ , obtemos a seguinte equação generalizada:

$$\mathbf{M} = \Lambda \left( \mathbf{K} \mathbf{H}_0 + \mathbf{M}_R \right) , \quad (2.59)$$

em que  $\Lambda$  é dado na equação 2.58.

A equação 2.59 é consistente com aquela apresentada por CLARK *et al.* (1986, Eq. 38) e mostra o efeito combinado da anisotropia de susceptibilidade magnética (AMS) e da anisotropia de forma. A AMS é representada pelo tensor de suscep-

tibilidade  $\mathbf{K}$  (Eq. 2.18) e reflete a orientação preferencial dos minerais magnéticos que formam o corpo. O tensor de susceptibilidade aparece na Eq. 2.59, definido no sistema de coordenadas principal (Fig. 2.1a), e na Eq. 2.56, definido no sistema de coordenada local (Fig. 2.1b). A anisotropia de forma, na é representada pelo tensor de depolarização  $\tilde{\mathbf{N}}^\dagger$  e reflete a desmagnetização associada à forma do corpo. Note que a magnetização resultante,  $\mathbf{M}$  (Eq. 2.59), não necessariamente possui a mesma direção do campo indutor  $\mathbf{H}_0$  (Eq. 2.14). A diferença angular entre a magnetização resultante e o campo indutor depende do efeito combinado da anisotropia de susceptibilidade magnética e da anisotropia de forma.

Para o caso particular em que a susceptibilidade é isotrópica, o tensor de susceptibilidade é definido de acordo com a Eq. 2.19. Neste caso, a magnetização  $\mathbf{M}$  (Eqs. 2.17 e ??), referida no sistema de coordenada principal (Fig. ??a), e a matriz  $\mathbf{\Lambda}$  (Eq. 2.58) podem ser reescritas como segue:

$$\mathbf{M} = \mathbf{\Lambda} (\chi \mathbf{H}_0 + \mathbf{M}_R) , \quad (2.60)$$

e

$$\mathbf{\Lambda} = \mathbf{V} \left( \mathbf{I} + \chi \tilde{\mathbf{N}}^\dagger \right)^{-1} \mathbf{V}^\top . \quad (2.61)$$

Desconsiderando a transformação de coordenadas representada pela matriz  $\mathbf{V}$  (Eq. 2.2), esta equação está perfeitamente de acordo com as apresentadas por GUO *et al.* (2001, Eqs. 13–15). O primeiro termo, dependente do campo indutor  $\mathbf{H}_0$  (Eq. 2.14), representa a magnetização induzida, enquanto o termo dependente de  $\mathbf{M}_R$  é a magnetização remanente resultante. A equação 2.60 mostra que, como apontado por vários autores (e.g., CLARK *et al.*, 1986; DUBOIS, 1896; MAXWELL, 1873; STONER, 1945; STRATTON, 2007), a magnetização induzida se opõe ao campo indutor quando este é paralelo a um eixo do elipsoide, independente do tipo de elipsoide. Por outro lado, a magnetização não é necessariamente paralela ao campo indutor quando este não está alinhado a um eixo do elipsoide. Se adicionalmente considerarmos que  $\chi \ll 1$ , a matriz  $\mathbf{\Lambda}$  (Eq. 2.61) se aproxima da matriz identidade e a magnetização  $\mathbf{M}$  (Eq. 2.60) pode ser aproximada por:

$$\tilde{\mathbf{M}} = \chi \mathbf{H}_0 + \mathbf{M}_R , \quad (2.62)$$

que é a equação clássica que descreve a magnetização resultante em geofísica aplicada (BLAKELY, 1996, p. 89). Notemos que, neste caso particular, a magnetização induzida é paralela ao campo indutor  $\mathbf{H}_0$  (Eq. 2.14), seja ele paralelo a algum eixo do elipsoide ou não. Usualmente, Eq. 2.62 é considerada uma boa aproximação quando  $\chi \leq 0.1$  SI. Apesar de este valor ser amplamente utilizado na literatura, houve poucas investigações empíricas e/ou teóricas sobre como este valor foi determinado.

### Relação entre $\chi$ e o erro da magnetização

No caso da susceptibilidade isotrópica, a magnetização resultante  $\mathbf{M}$  (Eq. 2.60) pode ser determinada resolvendo o seguinte sistema linear:

$$\mathbf{\Lambda}^{-1} \mathbf{M} = \chi \mathbf{H}_0 + \mathbf{M}_R, \quad (2.63)$$

em que, de acordo com a Eq. 2.61,

$$\mathbf{\Lambda}^{-1} = \mathbf{V} \left( \mathbf{I} + \chi \tilde{\mathbf{N}}^\dagger \right) \mathbf{V}^\top. \quad (2.64)$$

Considere uma matriz  $\delta \mathbf{\Lambda}^{-1}$  dada por:

$$\delta \mathbf{\Lambda}^{-1} = \mathbf{\Lambda}^{-1} - \mathbf{I} \quad (2.65)$$

e, similarmente, um vetor de magnetização perturbado  $\delta \mathbf{M}$  dado por:

$$\delta \mathbf{M} = \mathbf{M} - \check{\mathbf{M}}, \quad (2.66)$$

Usando estas duas equações, podemos reescrever a magnetização aproximada  $\check{\mathbf{M}}$  (Eq. 2.62) como:

$$(\mathbf{\Lambda}^{-1} - \delta \mathbf{\Lambda}^{-1}) (\mathbf{M} - \delta \mathbf{M}) = \chi \mathbf{H}_0 + \mathbf{M}_R. \quad (2.67)$$

Subtraindo a magnetização verdadeira  $\mathbf{M}$  (Eq. 2.63) deste sistema linear (Eq. 2.67) e rearranjando os termos, obtemos o seguinte sistema linear para a magnetização perturbada  $\delta \mathbf{M}$  (Eq. 2.66):

$$\delta \mathbf{M} = -\delta \mathbf{\Lambda}^{-1} \mathbf{M}. \quad (2.68)$$

Usando o conceito de norma de um vetor e seu correspondente operador de norma (DEMME, 1997; GOLUB e LOAN, 2013), podemos usar a Eq. 2.68 para escrever a seguinte desigualdade:

$$\frac{\|\delta \mathbf{M}\|}{\|\mathbf{M}\|} \leq \|\delta \mathbf{\Lambda}^{-1}\|. \quad (2.69)$$

em que  $\|\delta \mathbf{M}\|$  e  $\|\mathbf{M}\|$  representam a norma Euclidiana (ou norma-2) e o termo  $\|\delta \mathbf{\Lambda}^{-1}\|$  representa a norma-2 da matriz de  $\delta \mathbf{\Lambda}^{-1}$ . Usando as Eqs. 2.64 e 2.65 e a invariância da norma-2 de matrizes em relação a matrizes ortogonais (DEMME, 1997; GOLUB e LOAN, 2013), definimos  $\|\delta \mathbf{\Lambda}^{-1}\|$  como:

$$\|\delta \mathbf{\Lambda}^{-1}\| = \chi \tilde{n}_{max}^\dagger, \quad (2.70)$$

em que  $\tilde{n}_{max}^\dagger$  é o fator de desmagnetização associado ao menor semi-eixo do elipsoide.

Para um elipsoide triaxial,  $\tilde{n}_{max}^\dagger \equiv \tilde{n}_{33}^\dagger$  (Eq. 2.32). Para um elipsoide prolato,  $\tilde{n}_{max}^\dagger \equiv \tilde{n}_{22}^\dagger$  (Eq. 2.36). Para um elipsoide oblato,  $\tilde{n}_{max}^\dagger \equiv \tilde{n}_{11}^\dagger$  (Eq. 2.37). É importante lembrar que, independentemente do tipo de elipsoide,  $\tilde{n}_{max}^\dagger$  é uma função escalar dos semi-eixos do elipsoide. Na Eq. 2.69, a razão  $\|\delta\mathbf{M}\| \|\mathbf{M}\|^{-1}$  representa o *erro relativo* da magnetização aproximada  $\check{\mathbf{M}}$  (Eq. 2.62) com relação a magnetização verdadeira  $\mathbf{M}$  (Eqs. 2.60 e 2.63).

Dado um erro relativo fixo e um elipsoide com determinados semi-eixos, podemos usar a desigualdade representada pela Eq. 2.70 para definir

$$\chi_{max} = \frac{\epsilon}{\tilde{n}_{max}^\dagger}, \quad (2.71)$$

que representa a máxima susceptibilidade isotrópica que o corpo elipsoidal pode assumir para garantir um erro relativo menor que ou igual a  $\epsilon$  na magnetização resultante calculada. Para susceptibilidades isotrópicas maiores que  $\chi_{max}$ , não é possível garantir que o erro relativo na magnetização aproximada  $\check{\mathbf{M}}$  (Eq. 2.62) com relação a magnetização verdadeira  $\mathbf{M}$  (Eqs. 2.60 e 2.63) seja menor ou igual a  $\epsilon$ . A comunidade geocientífica tem usado  $\chi_{max} = 0.1$  SI como um valor limite para negligenciar a desmagnetização e, conseqüentemente, utilizar a magnetização  $\check{\mathbf{M}}$  (Eq. 2.62) como uma boa aproximação para a magnetização verdadeira  $\mathbf{M}$  (Eqs. 2.60 e 2.63). Por outro lado, a equação 2.71, define  $\chi_{max}$  como uma função dos semi-eixos do elipsoide, de acordo com um erro relativo  $\epsilon$  especificado pelo intérprete.

## 2.6 Campo magnético externo e anomalia de campo-total

O campo magnético  $\Delta\mathbf{H}(\mathbf{r})$  produzido por um elipsoide nos pontos externos é calculado pelas Eqs. 2.26 e 2.59 como a diferença entre o campo resultante  $\mathbf{H}(\mathbf{r})$  e o campo uniforme  $\mathbf{H}_0$  (Eq. 2.14):

$$\Delta\mathbf{H}(\mathbf{r}) = \mathbf{N}^\dagger(\mathbf{r}) \mathbf{M}, \quad (2.72)$$

em que  $\mathbf{N}^\dagger(\mathbf{r})$  é dado por:

$$\mathbf{N}^\dagger(\mathbf{r}) = \mathbf{V} \tilde{\mathbf{N}}^\dagger(\mathbf{r}) \mathbf{V}^\top, \quad (2.73)$$

sendo  $\mathbf{V}$  definida na Eq. 2.12 e  $\mathbf{N}^\dagger$  definida a partir dos elementos dados nas Eqs. 2.39 e 2.40. A equação 2.72 fornece o campo magnético (em  $\text{A m}^{-1}$ ). Entretanto, na geofísica, é mais usual utilizar a indução magnética, que é definida em nT. Esta conversão pode ser facilmente feita multiplicando a Eq. 2.72 por  $k_m = 10^9 \mu_0$ , em que  $\mu_0$  representa a constante magnética (em  $\text{H m}^{-1}$ ).

Para aplicações geofísicas, é preferível calcular a anomalia de campo total produzida por fontes magnéticas. Esta quantidade escalar é definida como (BLAKELY, 1996):

$$\Delta T(\mathbf{r}) = \|\mathbf{B}_0 + \Delta\mathbf{B}(\mathbf{r})\| - \|\mathbf{B}_0\| , \quad (2.74)$$

em que  $\mathbf{B}_0 = k_m \mathbf{H}_0$  e  $\Delta\mathbf{B}(\mathbf{r}) = k_m \Delta\mathbf{H}(\mathbf{r})$ , com  $\mathbf{H}_0$  definido na eq 2.14 e  $\Delta\mathbf{H}(\mathbf{r})$  definido na Eq. 2.72. Em situações práticas, entretanto,  $\|\mathbf{B}_0\| \gg \|\Delta\mathbf{B}(\mathbf{r})\|$  e, consequentemente, a seguinte aproximação é válida (BLAKELY, 1996):

$$\Delta T(\mathbf{r}) \approx \frac{\mathbf{B}_0^\top \Delta\mathbf{B}(\mathbf{r})}{\|\mathbf{B}_0\|} . \quad (2.75)$$



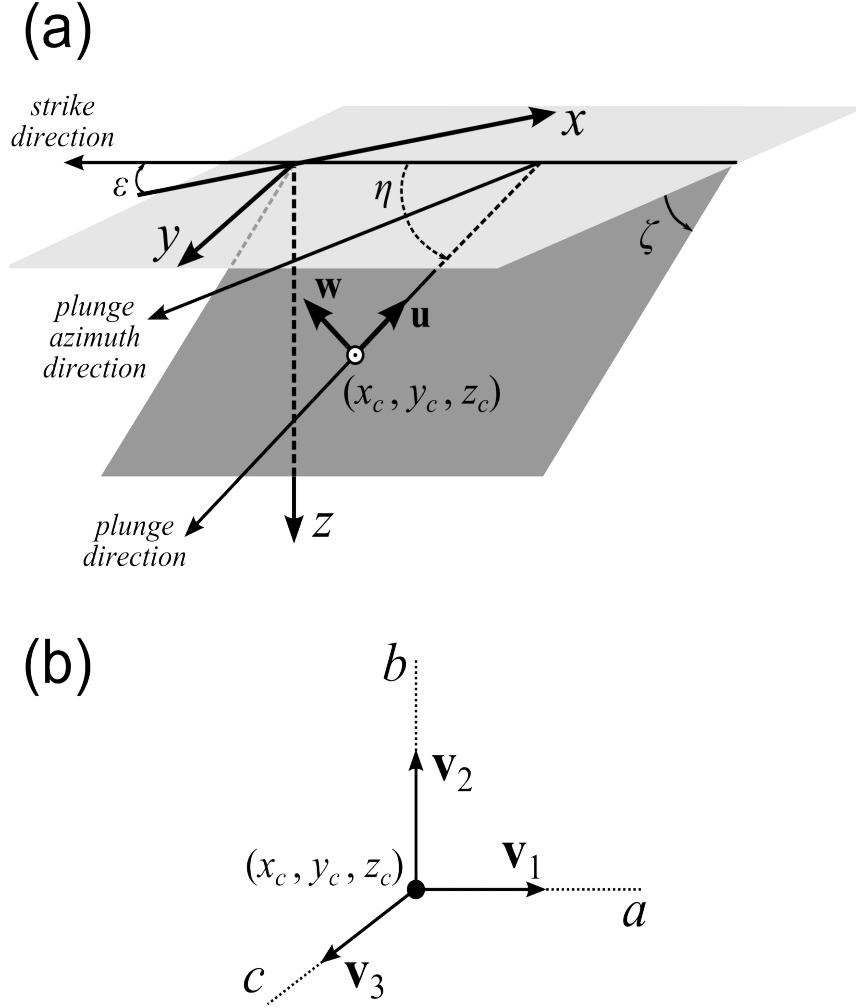


Figura 2.1: Esquema representativo do sistema de coordenadas usado para representar um corpo elipsoidal. a) Sistema de coordenadas principal com eixo  $x$  apontado para norte,  $y$  apontado para leste e  $z$  para baixo. O plano cinza escuro contém o centro  $(x_c, y_c, z_c)$  (círculo branco) e dois vetores unitários,  $u$  e  $w$ , que definem dois semi-eixos do corpo elipsoidal. Para elipsoides triaxiais e prolatos,  $u$  e  $w$  definem, respectivamente, os semi-eixos  $a$  e  $b$ . Para elipsoides oblatos,  $u$  e  $w$  definem os semi-eixos  $b$  e  $c$ , respectivamente. A *direção de strike* é definida pela intersecção do plano cinza escuro e o plano horizontal (representado em cinza claro), que contém os eixos  $x$  e  $y$ . O ângulo  $\vartheta$  entre "menos  $x$ " e a *direção de strike* é chamado de *strike*. O ângulo  $\zeta$  entre o plano horizontal e o plano cinza escuro é chamado de *dip*. A linha que contém o vetor unitário  $u$  define a *direção de plunge*. O ângulo  $\eta$  entre a *direção de strike* e a *direção de plunge* é chamada de *rake*. A projeção da *direção de plunge* no plano horizontal é chamado de *direção azimutal de plunge*. b) Sistema de coordenadas local com origem no centro do elipsoide  $(x_c, y_c, z_c)$  (ponto preto) e eixos definidos pelos vetores unitários  $v_1$ ,  $v_2$  e  $v_3$ . Estes vetores unitários definem os semi-eixos  $a$ ,  $b$  e  $c$  dos elipsoides triaxiais, prolatos e oblatos da mesma forma. Para os elipsoides triaxiais e prolatos, os vetores unitários  $u$  e  $w$ , mostrados em (a), coincidem com  $v_1$  e  $v_2$ , respectivamente. Para elipsoides oblatos, os vetores unitários  $u$  e  $w$ , mostrados em (a), coincidem com  $v_2$  e  $v_3$ , respectivamente.

## Capítulo 3

# Implementação computacional

A implementação computacional das rotinas desenvolvidas nesta dissertação foi feita em linguagem livre Python, que é gratuita, bem documentada e roda em praticamente todos os sistemas operacionais e vem sendo amplamente utilizada pela comunidade científica. As rotinas desenvolvidas ao longo deste trabalho foram baseadas no pacote *Fatiando a Terra* UIEDA *et al.* (2013), que é livre, de código aberto e desenvolvido para modelagem e inversão em geofísica. A documentação e as instruções para instalação da versão mais atual do *Fatiando a Terra* podem ser encontrados em <http://www.fatiando.org>. As rotinas desenvolvidas aqui estão livremente disponibilizadas no Github pelo link: <https://github.com/DiegoTaka/ellipsoid-magnetic>.

A Figura 3.1 exemplifica como calcular a anomalia de campo total  $\Delta T(\mathbf{r})$  (Eq. 2.75) gerada por um elipsoide triaxial.

Como mostrado neste exemplo, é necessário importar outros módulos do *Fatiando a Terra* antes de criar o modelo elipsoidal desejado. A parte “*The local-geomagnetic field*” define a intensidade ( $nT$ ), inclinação e declinação ( $^\circ$ ) do campo geomagnético local. A variável “*model*” contém um objeto da classe “*EllipsoidTriaxial*”, que foi desenvolvida neste trabalho como parte do subpacote “*mesher*” do *Fatiando a Terra*. Esta variável contém os parâmetros que definem o modelo de elipsoide triaxial. Os parâmetros são, respectivamente: posição  $x_c$ ,  $y_c$  e  $z_c$  ( $m$ ) do centro do corpo, semi-eixos  $a$ ,  $b$  e  $c$  ( $m$ ), orientações de *strike*, *dip* e *rake* ( $^\circ$ ) e um dicionário denominado “*props*”, que contém a propriedade física do modelo. O item “*remanence*” contém a intensidade ( $A/m$ ), inclinação e declinação ( $^\circ$ ) do vetor de magnetização remanente  $\mathbf{M}_R$  (Eq. 2.59). O item “*k*” contém as suscetibilidades principais  $k_1$ ,  $k_2$  e  $k_3$  (Eq. 2.18) e as orientações *strike*, *dip* e *rake* utilizadas para calcular os vetores unitários  $\mathbf{u}_1$ ,  $\mathbf{u}_2$  e  $\mathbf{u}_3$  que formam as colunas da matriz ortogonal  $\mathbf{U}$  (Eq. 2.18). Os vetores foram calculados utilizando-se as Eqs. 2.6, 2.7, 2.8. As linhas seguintes definem as coordenadas dos pontos  $(x, y, z)$  em que será calculada a anomalia de campo total produzida pelo modelo elipsoidal. Para tanto, utilizou-se o subpacote “*gridder*” do *Fatiando a Terra*. Neste exemplos, os pontos estão distribuídos em uma grade regular

de 200 x 200 (definida pela variável “*shape*”), sobre um plano horizontal em  $z = 0$  m. Os pontos são calculados sobre uma área que varia de -5000 até 5000 metros ao longo das direções  $x$  e  $y$ , tal como definido pela variável “*area*”. As coordenadas são armazenadas nos “*numpy arrays*”: “*xp*”, “*yp*” e “*zp*”. Em seguida, a anomalia de campo total é calculada utilizando-se a rotina “*tf\_c*”. Esta função está contida no módulo “*ellipsoid\_triaxial*”, que foi desenvolvido neste trabalho como parte do subpacote “*gravmag*” do Fatiando a Terra. As linhas finais do exemplo mostrado na Fig. 3.1 são para plotar a anomalia de campo total produzida pelo modelo elipsoidal utilizando-se o módulo “*mpl*”, que está contido no subpacote “*vis*” do Fatiando a Terra.

A Fig. 3.2 mostra o resultado produzido pelo código da Fig. 3.1. A Fig. 3.3 mostra o código fonte da rotina “*tf\_c*” (Fig. 3.1) utilizada para calcular a anomalia de campo total mostrada na Fig. 3.2.

As rotinas também contam com classes que separam os três tipos de elipsoides tratados neste trabalho.

É importante ressaltar que diversos cálculos são feitos com auxílio de bibliotecas do *Python* como o *Scipy* JONES *et al.* (2001–), *Matplotlib* HUNTER (2007–) e do pacote *NumPy* STÉFAN VAN DER WALT e VAROQUAUX (2011–).

Uma nota a respeito das funções *scipy.special.ellipkinc* e *scipy.special.ellipeinc* do pacote SciPy para o cálculo das integrais elípticas normais incompletas de Legendre de primeiro e segundo tipo (Eqs. 2.33 e 2.34): a variável  $\kappa$  das funções  $F(\kappa, \phi)$  e  $E(\kappa, \phi)$  já deve ser elevada ao quadrado.

Tal como definido anteriormente, a soma dos fatores de desmagnetização deve ser igual à 1 (um), independente do tamanho dos eixos e do tipo de elipsoide. Para verificar esta propriedade, foi gerado 200 elipsoides triaxiais com semi-eixos  $a = a_0 + u$ ,  $b = b_0 + u$  e  $c = c_0 + u$ , em que  $a_0 = 500$  m,  $b_0 = 100$  m,  $c_0 = 50$  m e  $500 \leq u \leq 30000$  m. A Fig. 3.4 mostra a soma dos fatores de desmagnetização  $\tilde{n}_{11}^\dagger$ ,  $\tilde{n}_{22}^\dagger$  e  $\tilde{n}_{33}^\dagger$  calculados pelas Eqs. 2.30, 2.31 e 2.32 para este conjunto de elipsoides e serve como validação de parte das rotinas apresentadas neste trabalho.

```

"""
GravMag: 3D forward modeling of total-field magnetic anomaly using triaxial
ellipsoids (model with induced and remanent magnetization)
"""

# Import the required modules
from fatiando import mesher, gridder, utils
from fatiando.gravmag import ellipsoidtriaxial
from fatiando.vis import mpl

# The local-geomagnetic field
inten, inc, dec = 60000., 30, -15
model = [mesher.EllipsoidTriaxial(-2500., -2500., 500., 2000., 100., 50., 0., 0., 0.,
                                   {'remanence': [100, 90., 0.],
                                    'k': [0.2, 0.1, 0.05, 0., 90., 90.]}),
          mesher.EllipsoidTriaxial(2500., 2500., 500., 2000., 100., 50., 0., 0., 0.,
                                   {'remanence': [100, 90., 0.],
                                    'k': [0.2, 0.1, 0.05, 0., 90., 90.]})]

# Create a regular grid at 0m height
shape = (200, 200)
area = [-5000, 5000, -5000, 5000]
xp, yp, zp = gridder.regular(area, shape, z=0)
# Calculate the anomaly for a given regional field
tf = ellipsoidtriaxial.tf_c(xp, yp, zp, inten, inc, dec, model)
# Plot
mpl.figure()
mpl.title("Total-field anomaly (nT)")
mpl.axis('scaled')
mpl.contourf(yp, xp, tf, shape, 15)
mpl.colorbar()
mpl.xlabel('East y (km)')
mpl.ylabel('North x (km)')
mpl.m2km()
mpl.show()

```

Figura 3.1: Exemplo de *script* para gerar um modelo elipsoidal triaxial e calcular a anomalia de campo total  $\Delta T(\mathbf{r})$  (Eq. 2.75).

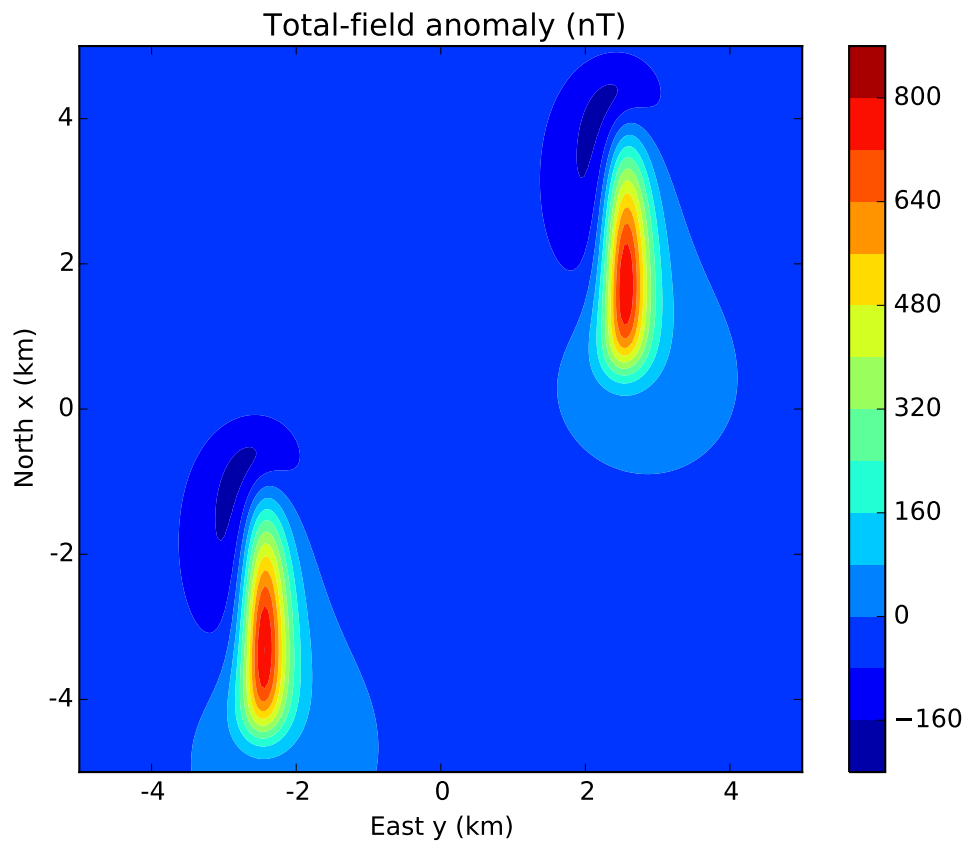


Figura 3.2: Anomalia de campo total  $\Delta T(\mathbf{r})$  (Eq. 2.75) produzida pelo código da Fig. 3.1.

```

def tf_c(xp,yp,zp,inten,inc,dec,ellipsoids):
    """
    Calculates the approximated total-field anomaly generated by n-ellipsoid.

    Parameters:

    * xp,yp,zp: arrays
      Grid of observation points x, y, and z.
    * inten,inc,dec: floats
      Intensity, inclination and declination of the Earth's magnetic field.
    * ellipsoids: list of :class:`fatiando.mesher.Sphere`
      Ellipsoid model.

    Returnss:

    * tf : array
      The total-field anomaly
    """

    if xp.shape != yp.shape != zp.shape:
        raise ValueError("Input arrays xp, yp, and zp must have same shape!")
    size = len(xp)
    res = np.zeros(size, dtype=np.float)
    ctemag = 100.

    for ellipsoid in ellipsoids:
        b1,b2,b3,V,N1,N2,N3,JRD_ang = ellipsoid_def (xp,yp,zp,inten,inc,dec,ellipsoid)
        bx = (b1*V[0,0]+b2*V[0,1]+b3*V[0,2])*ctemag
        by = (b1*V[1,0]+b2*V[1,1]+b3*V[1,2])*ctemag
        bz = (b1*V[2,0]+b2*V[2,1]+b3*V[2,2])*ctemag
        tf = bx*np.cos(np.deg2rad(inc))*np.cos(np.deg2rad(dec)) + by*np.cos\
            (np.deg2rad(inc))*np.sin(np.deg2rad(dec)) + bz*np.sin(np.deg2rad(inc))
        res += tf
    res = res
    return res

```

Figura 3.3: Código fonte da rotina “*tf\_c*” utilizada para calcular a anomalia de campo total  $\Delta T(\mathbf{r})$  (Eq.2.75) produzida pelo modelo elipsoidal definido na Fig. 3.1. Esta rotina utiliza outras rotinas que também foram desenvolvidas neste trabalho como parte do módulo `elipsoide_triaxial` (Fig. 3.1).

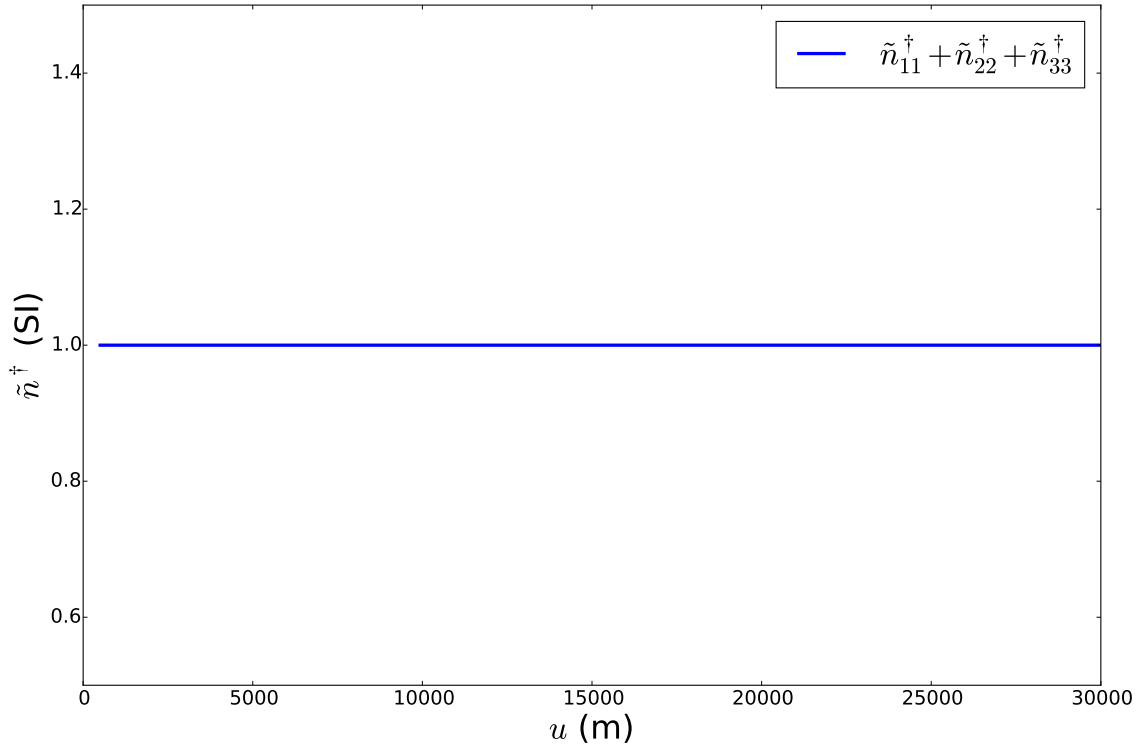


Figura 3.4: Validação dos fatores de desmagnetização. Foi gerado 200 elipsoides triaxiais com semi-eixos  $a = a_0 + u$ ,  $b = b_0 + u$  e  $c = c_0 + u$ , em que  $a_0 = 500$  m,  $b_0 = 100$  m,  $c_0 = 50$  m e  $500 \leq u \leq 30000$  m. A figura mostra a soma dos fatores de desmagnetização  $\tilde{n}_{11}^{\dagger}$ ,  $\tilde{n}_{22}^{\dagger}$  e  $\tilde{n}_{33}^{\dagger}$  calculados pelas Eqs. 2.30, 2.31 e 2.32 e deve ser igual à 1 (um), independente do tamanho dos eixos e do tipo de elipsoide.

# Capítulo 4

## Simulações Numéricas e Discussões

### 4.1 Modelos elipsoidais

As Figuras 4.1A), 4.1B), 4.1C) e 4.1D) mostram, respectivamente, as componentes  $x$ ,  $y$  e  $z$  da indução magnética  $\Delta\mathbf{B}(\mathbf{r})$  (Eq. 2.74) e a anomalia de campo total  $\Delta T(\mathbf{r})$  (Eq. 2.75) produzidas pelo elipsoide triaxial definido de acordo com os parâmetros da Tabela 4.1. Os dados foram calculados em uma malha de  $200 \times 200$  pontos (total de 40000 pontos) localizada no plano horizontal  $z = 0$  m.

Parâmetro	Valor	Unidade
$a, b, c$	150, 100, 75	m
$strike$	0	°
$dip$	0	°
$rake$	0	°
$x_c$	0	m
$y_c$	0	m
$z_c$	1000	m
$\mathbf{M}_R^*$	100, 25°, 40°	$A/m$ , °, °
$\mathbf{B}_0^*$	60000, 50°, 20°	$nT$ , °, °
$k_1, k_2, k_3$	0,1, 0,1, 0,1	SI, SI, SI
Orientação das colunas da matriz $\mathbf{U}^{**}$	0, 90, 90	°, °, °

Tabela 4.1: Parâmetros do elipsoide triaxial modelado. \*Valores de intensidade, inclinação e declinação respectivamente. \*\*Ângulo de  $strike$ ,  $dip$  e  $rake$ , respectivamente, para calcular os vetores unitários  $\mathbf{u}_1$ ,  $\mathbf{u}_2$ ,  $\mathbf{u}_3$  por meio das Eqs. 2.6, 2.7 e 2.8.

As Figuras 4.2A), 4.2B), 4.2C) e 4.2D) mostram, respectivamente, as componentes  $x$ ,  $y$  e  $z$  da indução magnética  $\Delta\mathbf{B}(\mathbf{r})$  (Eq. 2.74) e a anomalia de campo total  $\Delta T(\mathbf{r})$  (Eq. 2.75) produzidas pelo elipsoide prolato definido de acordo com os



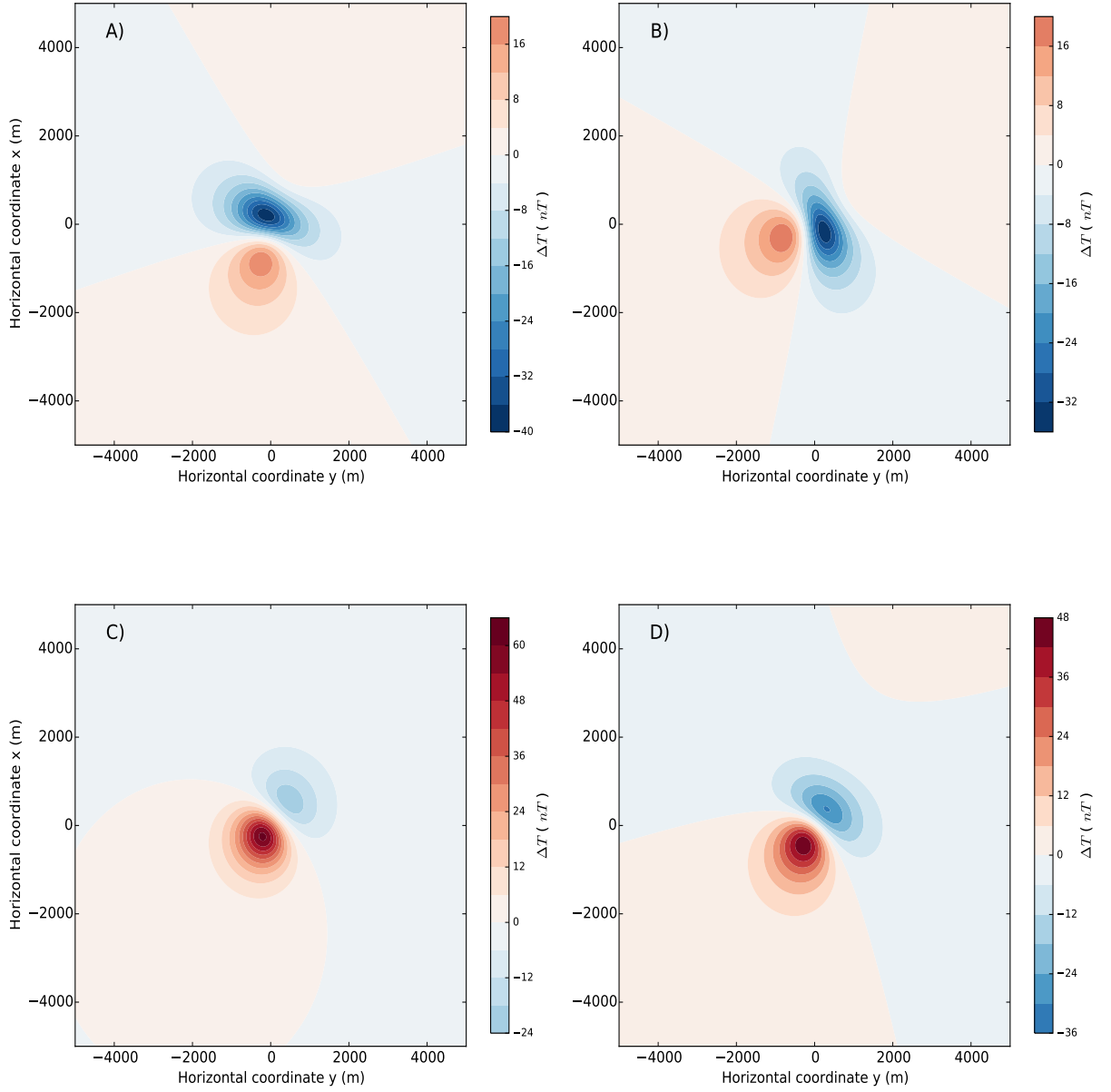


Figura 4.1: Campo gerado pelo elipsoide triaxial definido na Tabela 4.1. A), B) e C) Componentes  $x$ ,  $y$  e  $z$ , respectivamente, da indução magnética  $\Delta\mathbf{B}(\mathbf{r})$  (Eq. 2.74). D) Anomalia de campo total  $\Delta T(\mathbf{r})$  (Eq. 2.75). Todos os valores estão em nT.

parâmetros da Tabela 4.2.

As Figuras 4.3A), 4.3B), 4.3C) e 4.3D) mostram, respectivamente, as componentes  $x$ ,  $y$  e  $z$  da indução magnética  $\Delta\mathbf{B}(\mathbf{r})$  (Eq. 2.74) e a anomalia de campo total  $\Delta T(\mathbf{r})$  (Eq. 2.75) produzidas pelo elipsoide prolato definido de acordo com os parâmetros da Tabela 4.3.

As Figuras 4.4A), 4.4B), 4.4C) e 4.4D) mostram, respectivamente, as componen-

Parâmetro	Valor	Unidade
$a, b$	200, 100	m
$strike$	45	°
$dip$	0	°
$rake$	0	°
$x_c$	0	m
$y_c$	0	m
$z_c$	1000	m
$\mathbf{M}_R^*$	100, 90, 0	$A/m, ^\circ, ^\circ$
$\mathbf{B}_0^*$	60000, 50, 20	$nT, ^\circ, ^\circ$
$k_1, k_2, k_3$	0,1, 0,1, 0,1	SI, SI, SI
Orientação das colunas da matriz $\mathbf{U}^{**}$	0, 90, 90	°, °, °

Tabela 4.2: Parâmetros do elipsoide prolato modelado. \*Valores de intensidade, inclinação e declinação respectivamente. \*\*Ângulo de *strike*, *dip* e *rake*, respectivamente, para calcular os vetores unitários  $\mathbf{u}_1$ ,  $\mathbf{u}_2$ ,  $\mathbf{u}_3$  por meio das Eqs. 2.6, 2.7 e 2.8.

tes  $x$ ,  $y$  e  $z$  da indução magnética  $\Delta\mathbf{B}(\mathbf{r})$  (Eq. 2.74) e a anomalia de campo total  $\Delta T(\mathbf{r})$  (Eq. 2.75) produzidas por dois elipsoides triaxiais definidos de acordo com os parâmetros da Tabela 4.4.

## 4.2 Fatores de desmagnetização

Os fatores de desmagnetização são importantíssimos para a modelagem de corpos com alta susceptibilidade e dependem apenas da sua forma geométrica no modelo elipsoidal.

Na Figura 4.6 observamos o comportamento afastado destes elementos, quando os semi-eixos de elipsoide triaxial possuem tamanhos diferentes, e a tendência de se aproximarem para um mesmo valor quando possuem valores próximos (se aproximando de uma esfera, que possui o valor de 1/3 no SI para todos os elementos dos fatores de desmagnetização). Para tal, simulamos um elipsoide triaxial inicialmente

Parâmetro	Valor	Unidade
$a, b$	100, 200	m
$strike$	45	°
$dip$	0	°
$rake$	0	°
$x_c$	0	m
$y_c$	0	m
$z_c$	1000	m
$\mathbf{M}_R^*$	100, 90, 0	$A/m, ^\circ, ^\circ$
$\mathbf{B}_0^*$	60000, 50, 20	$nT, ^\circ, ^\circ$
$k_1, k_2, k_3$	0,1, 0,1, 0,1	SI, SI, SI
Orientação das colunas da matriz $\mathbf{U}^{**}$	0, 90, 90	°, °, °

Tabela 4.3: Parâmetros do elipsoide oblato modelado. \*Valores de intensidade, inclinação e declinação respectivamente. \*\*Ângulo de *strike*, *dip* e *rake*, respectivamente, para calcular os vetores unitários  $\mathbf{u}_1$ ,  $\mathbf{u}_2$ ,  $\mathbf{u}_3$  por meio das Eqs. 2.9, 2.10 e 2.11.

com semi-eixos  $a_0 = 500$  m,  $b_0 = 100$  m e  $c_0 = 50$  m e o usamos como referência para gerar 200 outros elipsoides triaxiais calculando seus fatores de desmagnetização  $\tilde{n}_{11}^\dagger$ ,  $\tilde{n}_{22}^\dagger$  e  $\tilde{n}_{33}^\dagger$  pelas Eq. 2.30, 2.31 e 2.32. Os sei-eixis destes 100 elipsoides são dados por  $a = a_0 + u$ ,  $b = b_0 + u$  e  $c = c_0 + u$ , em que  $500 \leq u \leq 30000$ . Ou seja, os semi-eixos aumentam igualmente por uma variável  $u$  crescente e quanto maior essa variável, mais esféricos serão os elipsoides obtidos.

Na Figura 4.7 observamos o mesmo comportamento no caso triaxial para o caso do elipsoide prolato. Simulamos 200 elipsoides prolatos com semi-eixos  $a = m b_0$  e  $b = b_0$ , em que  $b_0 = 100$  m e  $1,1 \leq m \leq 100$  m. Calculamos seus fatores de desmagnetização  $\tilde{n}_{11}^\dagger$  e  $\tilde{n}_{22}^\dagger$  pelas Eqs. 2.35, 2.36. Neste gráfico no eixo horizontal é feita a relação entre os semi-eixos  $a$  e  $b$  ( $m$ ) onde aumenta-se a valor do semi-eixo

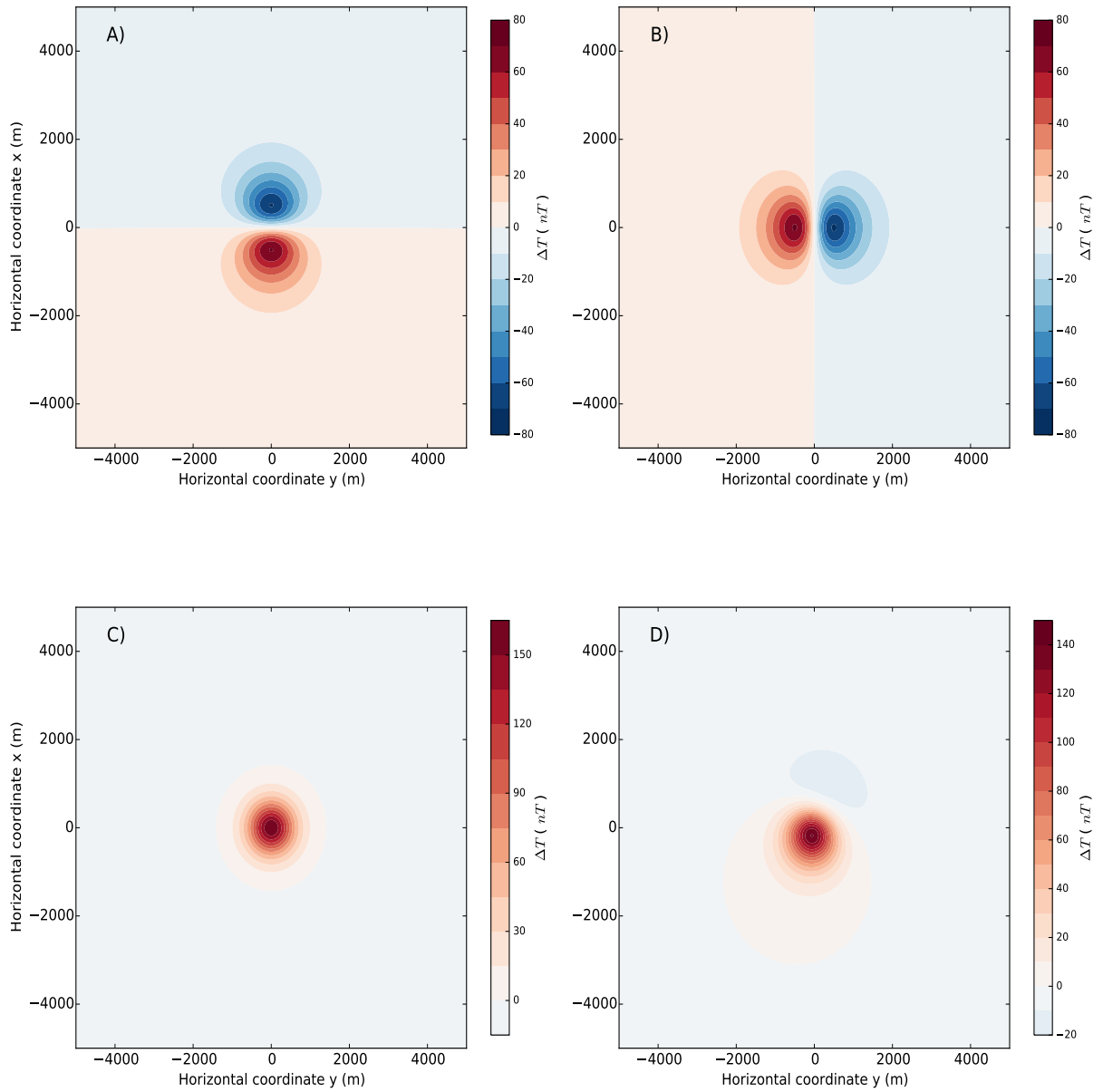


Figura 4.2: As componentes do campo magnético gerado por um elipsoide prolato de parâmetros conforme a tabela 4.2 e a anomalia de campo total aproximada. Em A) a componente  $B_x$  do campo, em B) a componente  $B_y$ , em C) a componente  $B_z$  e em D) a anomalia de campo total aproximada.

maior e mantém o semi-eixo menor constante. No começo, quando os semi-eixos estão próximos, os elementos tendem à  $1/3$  e se afastam conforme  $a$  é muito maior que  $b$ .

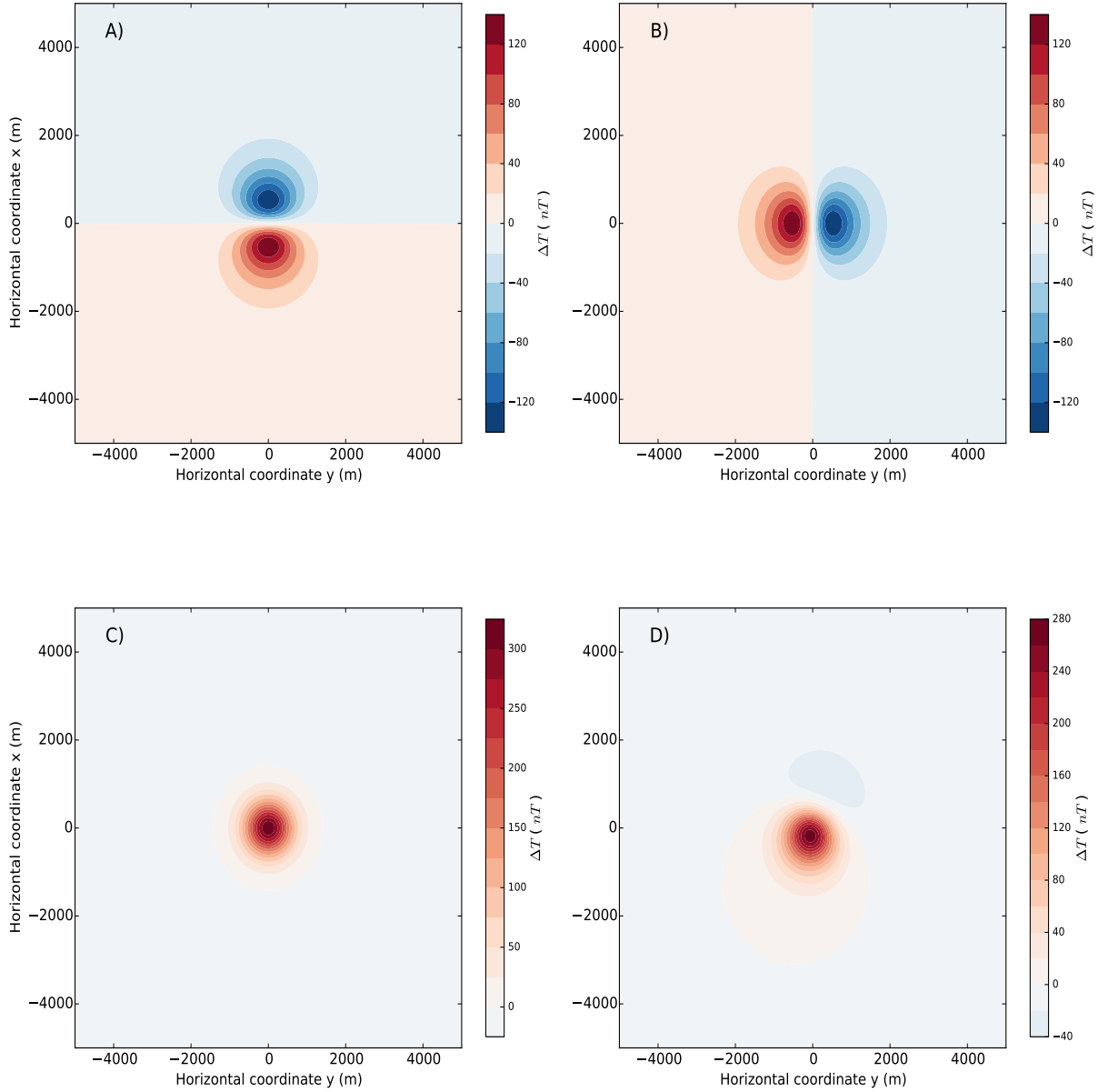


Figura 4.3: As componentes do campo magnético gerado por um elipsoide oblato de parâmetros conforme a tabela 4.3 e a anomalia de campo total aproximada. Em A) a componente  $B_x$  do campo, em B) a componente  $B_y$ , em C) a componente  $B_z$  e em D) a anomalia de campo total aproximada.

De forma similar, simulamos 200 elipsoides oblatos com semi-eixos  $a = m b_0$  e  $b = b_0$ , em que  $b_0 = 1000$  m e  $0,05 \leq m \leq 1$ . Calculamos seus fatores de desmagnetização  $\tilde{n}_{11}^\dagger$  e  $\tilde{n}_{22}^\dagger$  pelas Eqs. 2.37, 2.38. Na figura 4.8 temos o resultado dessa simulação. Lembremos que no caso do elipsoide oblato  $a$  é o semi-eixo menor e  $b$  o semi-eixo maior. No começo, quando os semi-eixos possuem valores discrepantes, os elementos estão afastados para  $b$  muito maior que  $a$  e tendem à  $1/3$  conforme se aproximam.

Parâmetro	Valor	Unidade
$a, b, c$	150, 100, 75	m
$strike$	0	°
$dip$	0	°
$rake$	0	°
$x_c$	-2500	m
$y_c$	-2500	m
$z_c$	1000	m
$\mathbf{M}_R^*$	100, 25°, 40°	A/m, °, °
$k_1, k_2, k_3$	0,1, 0,1, 0,1	SI, SI, SI
Orientação das colunas da matriz $\mathbf{U}^{**}$	0, 90, 90	°, °, °
$a_2, b_2, c_2$	200, 120, 60	m
$strike_2$	0	°
$dip_2$	0	°
$rake_2$	0	°
$x_{c2}$	2500	m
$y_{c2}$	2500	m
$z_{c2}$	1000	m
$\mathbf{M}_{R2}^*$	75, 25°, 40°	A/m, °, °
$k_{12}, k_{22}, k_{32}$	0,1, 0,1, 0,1	SI, SI, SI
Orientação das colunas da matriz $\mathbf{U}_2^{**}$	0, 90, 90	°, °, °
$\mathbf{B}_0^*$	60000, 50°, 20°	nT, °, °

Tabela 4.4: Parâmetros dos dois elipsoides triaxiais modelados. \*Valores de intensidade, inclinação e declinação respectivamente. \*\*Ângulo de *strike*, *dip* e *rake*, respectivamente, para calcular os vetores unitários  $\mathbf{u}_1$ ,  $\mathbf{u}_2$ ,  $\mathbf{u}_3$  por meio das Eqs. 2.6, 2.7 e 2.8.

Através destes gráficos é possível observar como os fatores de desmagnetização possuem valor menor, quanto maior o semi-eixo do elipsoide. De fato há uma relação:  $\tilde{n}_{11}^\dagger$  está relacionado com o semi-eixo maior,  $\tilde{n}_{22}^\dagger$  com o semi-eixo intermediário e  $\tilde{n}_{33}^\dagger$  com o semi-eixo menor. Fisicamente, isto significa que há a tendência, do elipsoide se desmagnetizar com maior intensidade na direção dos seus semi-eixos menores.

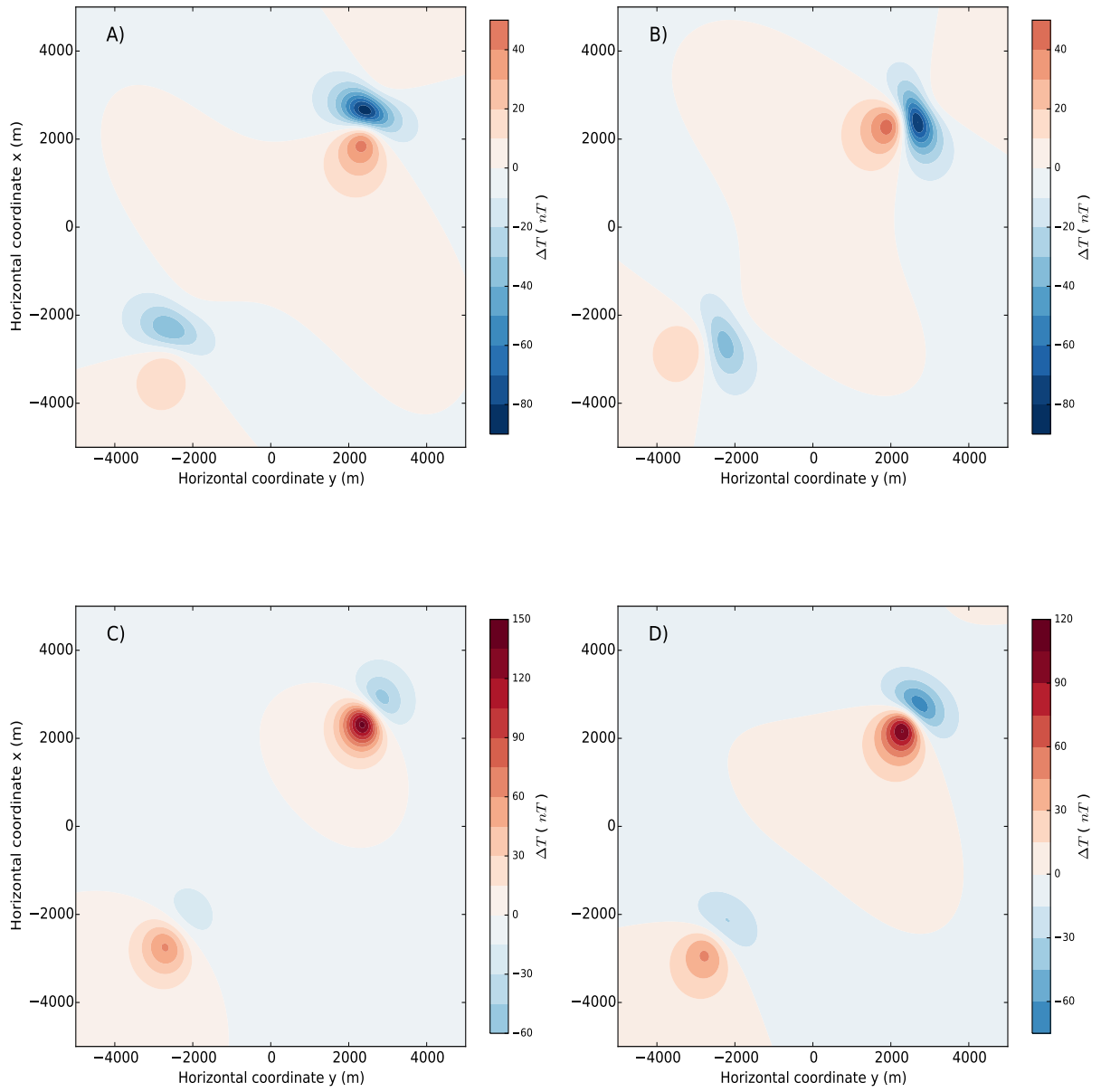


Figura 4.4: As componentes do campo magnético gerado pelos elipsoides triaxiais de parâmetros conforme a tabela 4.4 e a anomalia de campo total aproximada. Em A) a componente Bx do campo, em B) a componente By, em C) a componente Bz e em D) a anomalia de campo total aproximada.

A)

```
# The regional field
inten,inc, dec = 60000., 50., 20.
# Create a regular grid at 100m height
shape = (200, 200)
area = [-5000, 5000, -5000, 5000]
xp, yp, zp = gridder.regular(area, shape, z=0)

model_t1 = [mesher.EllipsoidTriaxial(0.,0.,1000.,150.0, 100.0, 75.0, 0.,0.,0.,
                                     {'remanence': [100, 25., 40.],
                                      'k': [0.01, 0.01, 0.01, 0., 90., 90.]})]

# Calculate the anomaly for a given regional field
bx_t = ellipsoid_triaxial.bx_c(xp,yp,zp,inten,inc,dec,model_t1)
by_t = ellipsoid_triaxial.by_c(xp,yp,zp,inten,inc,dec,model_t1)
bz_t = ellipsoid_triaxial.bz_c(xp,yp,zp,inten,inc,dec,model_t1)
tf_t = ellipsoid_triaxial.tf_c(xp,yp,zp,inten,inc,dec,model_t1)
```

B)

```
model_p = [mesher.EllipsoidProlate(0.,0.,1000.,200.,100.,45.,0.,0.,
                                   {'remanence': [100, 90., 0.],
                                    'k': [0.01, 0.01, 0.01, 0., 90., 90.]})]

# Calculate the anomaly for a given regional field
bx_p = ellipsoid_prolate.bx_c(xp,yp,zp,inten,inc,dec,model_p)
by_p = ellipsoid_prolate.by_c(xp,yp,zp,inten,inc,dec,model_p)
bz_p = ellipsoid_prolate.bz_c(xp,yp,zp,inten,inc,dec,model_p)
tf_p = ellipsoid_prolate.tf_c(xp,yp,zp,inten,inc,dec,model_p)
```

C)

```
model_o = [mesher.EllipsoidOblate(0.,0.,1000.,100,200.,45.,0., 0.,
                                   {'remanence': [100, 90., 0.],
                                    'k': [0.01, 0.01, 0.01, 0., 90., 90.]})]

# Calculate the anomaly for a given regional field
bx_o = ellipsoid_oblate.bx_c(xp,yp,zp,inten,inc,dec,model_o)
by_o = ellipsoid_oblate.by_c(xp,yp,zp,inten,inc,dec,model_o)
bz_o = ellipsoid_oblate.bz_c(xp,yp,zp,inten,inc,dec,model_o)
tf_o = ellipsoid_oblate.tf_c(xp,yp,zp,inten,inc,dec,model_o)
```

D)

```
model_t2 = [mesher.EllipsoidTriaxial(-2500.,-2500.,1000.,150.0, 100.0, 75.0, 0.,0.,0.,
                                     {'remanence': [100, 25., 40.],
                                      'k': [0.01, 0.01, 0.01, 0., 90., 90.]})],
            mesher.EllipsoidTriaxial(2500.,2500.,750.,200.0, 120.0, 60.0, 0.,0.,0.,
                                     {'remanence': [75, 25., 40.],
                                      'k': [0.01, 0.01, 0.01, 0., 90., 90.]})]

# Calculate the anomaly for a given regional field
bx_t2 = ellipsoid_triaxial.bx_c(xp,yp,zp,inten,inc,dec,model_t2)
by_t2 = ellipsoid_triaxial.by_c(xp,yp,zp,inten,inc,dec,model_t2)
bz_t2 = ellipsoid_triaxial.bz_c(xp,yp,zp,inten,inc,dec,model_t2)
tf_t2 = ellipsoid_triaxial.tf_c(xp,yp,zp,inten,inc,dec,model_t2)
```

Figura 4.5: *Scripts* utilizados para gerar os resultados mostrados: A) na Figura 4.1, B) na Figura 4.2, C) na Figura 4.3 e D) na Figura 4.4. A descrição do código é similar àquela mostrada na Figura 3.1.



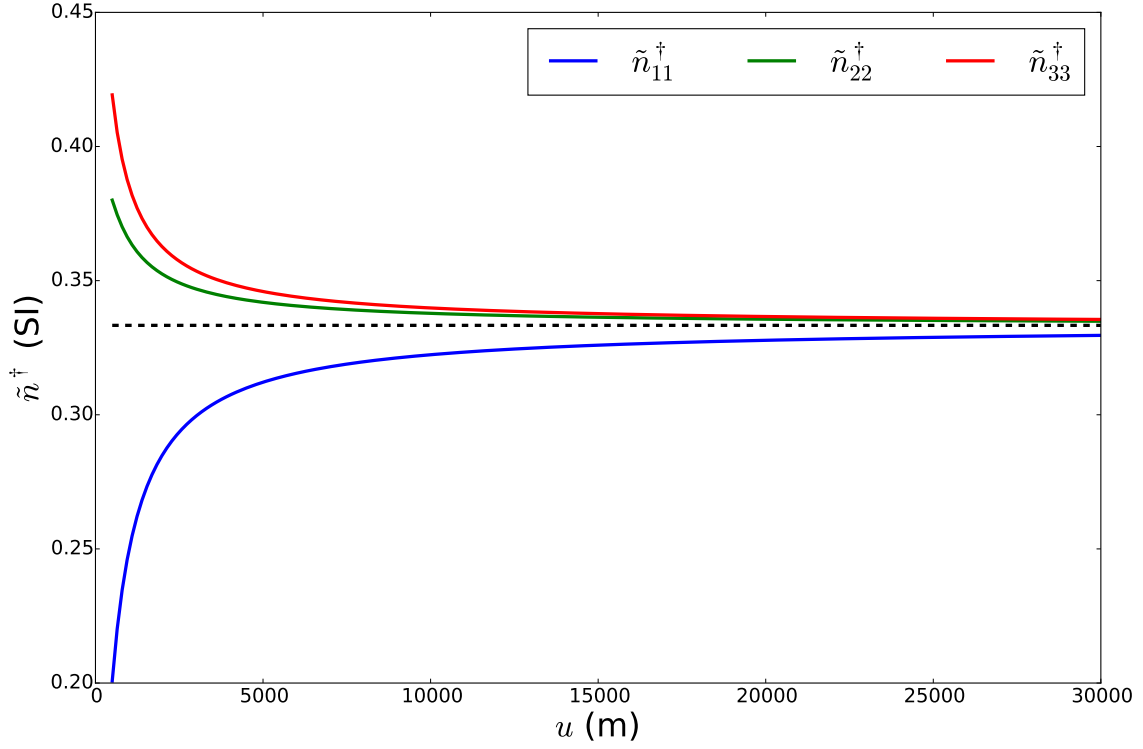


Figura 4.6: Comparação dos fatores de desmagnetização  $\tilde{n}_{11}^{\dagger}$  (azul),  $\tilde{n}_{22}^{\dagger}$  (verde) e  $\tilde{n}_{33}^{\dagger}$  (vermelho) de um elipsoide triaxial originalmente com semi-eixos 500, 100 e 50 metros, com um fator  $500 \leq u \leq 30000$ , somando, simultaneamente, todos os semi-eixos. Os fatores de desmagnetização foram calculados pelas Eq. 2.30, 2.31 e 2.32.

### 4.3 Comparações entre a $\Delta T(\mathbf{r})$ produzida por modelos elipsoidais similares

A Figura 4.9 mostra as anomalias de campo total  $\Delta T(\mathbf{r})$  produzidas pelo elipsoide triaxial definido na Tabela 4.5 e por uma esfera. Os dados produzidos pela esfera foram calculados com o pacote *Fatiando a Terra*.

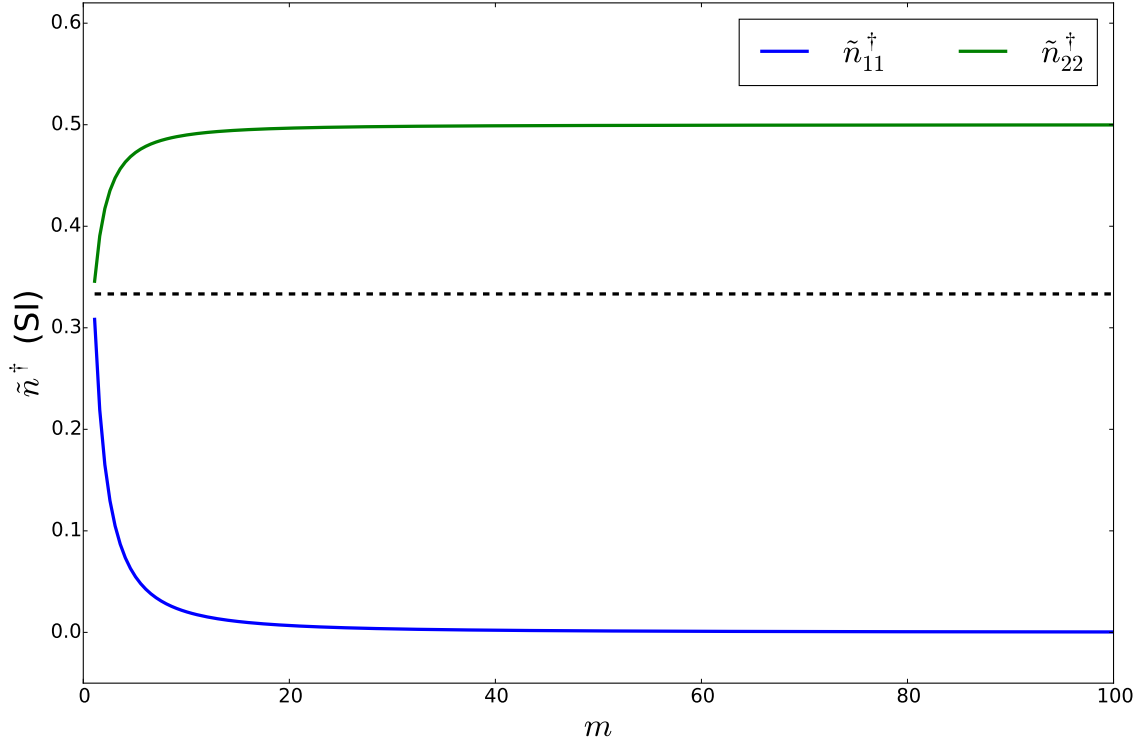


Figura 4.7: Comparação dos fatores de desmagnetização  $\tilde{n}_{11}^\dagger$  (azul) e  $\tilde{n}_{22}^\dagger$  (verde) de um elipsoide prolato originalmente com semi-eixo  $b_0 = 100$  m, com um fator 1,  $1 \leq m \leq 100$ , que aumenta o valor do semi-eixo maior e mantém o semi-eixo menor constante. Os fatores de desmagnetização foram calculados pelas Eq. 2.35, 2.36.

Tal como esperado, as anomalias de campo total produzidas pelo elipsoide triaxial (Fig. 4.9A) e pela esfera (Fig. 4.9B) são muito próximas. As diferenças máximas ocorrem nas regiões de máximo/mínimo das anomalias e atingem um valor absoluto de  $\sim 0.000349$  nT. Estes resultados representam uma validação numérica das rotinas desenvolvidas neste trabalho para calcular a anomalia de campo total produzida por

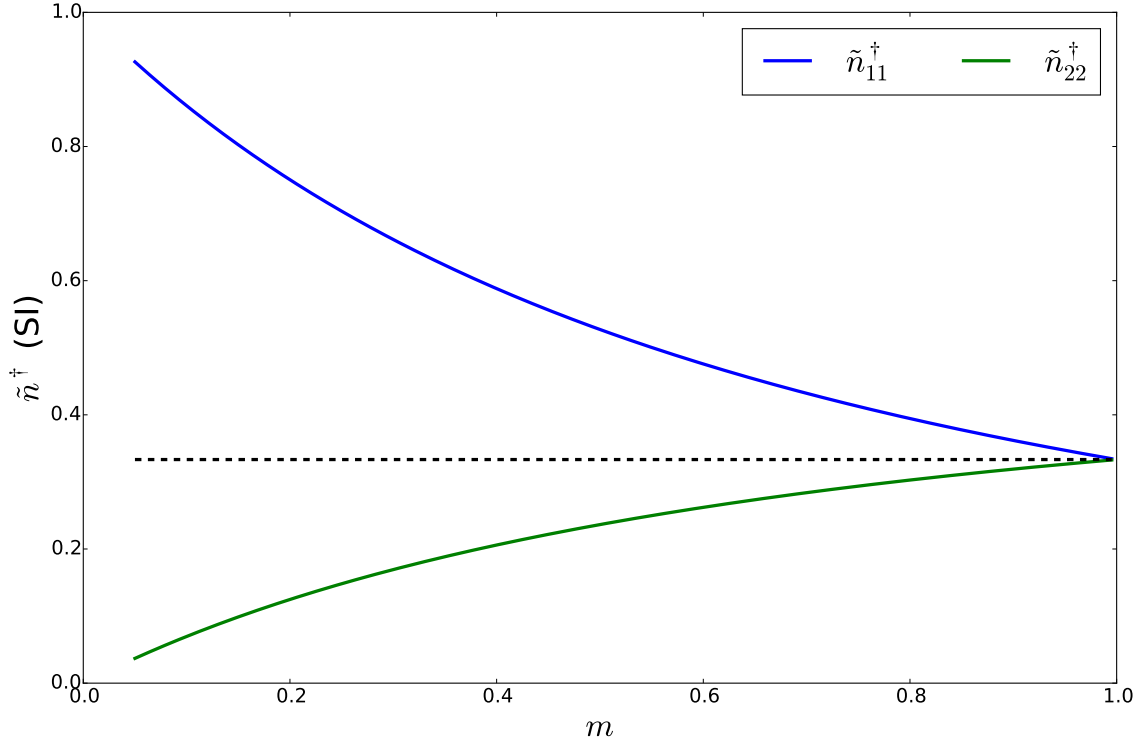


Figura 4.8: Comparação dos fatores de desmagnetização  $\tilde{n}_{11}^{\dagger}$  (azul) e  $\tilde{n}_{22}^{\dagger}$  (verde) de um elipsoide oblato originalmente com semi-eixo  $b_0 = 1000$  m, com um fator  $0,05 \leq m \leq 1$ , que aumenta o valor do semi-eixo menor e mantém o semi-eixo maior constante. Os fatores de desmagnetização foram calculados pelas Eq. 2.37, 2.38.

Parâmetro	Valor	Unidade
$a, b, c$	500.0001, 500.0, 499.9999	m
<i>strike</i>	0	°
<i>dip</i>	0	°
<i>rake</i>	0	°
$x_c$	0	m
$y_c$	0	m
$z_c$	1000	m
$\mathbf{M}_R^*$	100, 25, 40	A/m, °, °
$\mathbf{B}_0^*$	1, 50, 20	nT, °, °
$k_1, k_2, k_3$	0,1, 0,1, 0,1	SI, SI, SI
Orientação das colunas da matriz $\mathbf{U}^{**}$	0, 90, 90	°, °, °

Tabela 4.5: Parâmetros do elipsoide triaxial modelado. \*Valores de intensidade, inclinação e declinação respectivamente. \*\*Ângulo de *strike*, *dip* e *rake*, respectivamente, para calcular os vetores unitários  $\mathbf{u}_1$ ,  $\mathbf{u}_2$ ,  $\mathbf{u}_3$  por meio das Eqs. 2.6, 2.7 e 2.8.

elipsoides triaxiais.

As Figuras 4.10A e 4.10B mostram as anomalias de campo total  $\Delta T(\mathbf{r})$  (Eq. 2.75) produzidas, respectivamente, pelo elipsoide triaxial definido na Tabela 4.6

e pelo elipsoide prolato definido na Tabela 4.7. As maiores diferenças ocorrem na região de máximo/mínimo das anomalias e atingem um valor absoluto de  $\sim 0.003788$  nT. Similarmente, as Figuras 4.11A e 4.11B mostram as anomalias de campo total  $\Delta T(\mathbf{r})$  (Eq. 2.75) produzidas, respectivamente, pelo elipsoide triaxial definido na Tabela 4.8 e pelo elipsoide oblato definido na Tabela 4.9. As maiores diferenças ocorrem na região de máximo/mínimo das anomalias e atingem um valor absoluto de  $\sim 46.71$  nT, o que representa cerca de 0,5% do valor máximo da anomalia apresentada nesta simulação. Estes resultados servem como validação numérica e mostram a consistência entre as rotinas desenvolvidas neste trabalho.

Parâmetro	Valor	Unidade
$a, b, c$	500, 100, 99.99	m
$strike$	90	°
$dip$	45	°
$rake$	0	°
$x_c$	0	m
$y_c$	0	m
$z_c$	1000	m
$\mathbf{M}_R^*$	100, 90, 0	A/m, °, °
$\mathbf{B}_0^*$	60000, 50, 20	nT, °, °
$k_1, k_2, k_3$	0,2, 0,1, 0,05	SI, SI, SI
Orientação das colunas da matriz $\mathbf{U}^{**}$	0, 90, 90	°, °, °

Tabela 4.6: Parâmetros do elipsoide triaxial modelado. \*Valores de intensidade, inclinação e declinação respectivamente. \*\*Ângulo de *strike*, *dip* e *rake*, respectivamente, para calcular os vetores unitários  $\mathbf{u}_1$ ,  $\mathbf{u}_2$ ,  $\mathbf{u}_3$  por meio das Eqs. 2.6, 2.7 e 2.8.

Parâmetro	Valor	Unidade
$a, b$	500, 100	m
$strike$	90	°
$dip$	45	°
$rake$	0	°
$x_c$	0	m
$y_c$	0	m
$z_c$	1000	m
$\mathbf{M}_R^*$	100, 90, 0	$A/m, ^\circ, ^\circ$
$\mathbf{B}_0^*$	60000, 50, 20	$nT, ^\circ, ^\circ$
$k_1, k_2, k_3$	0,2, 0,1, 0,05	SI, SI, SI
Orientação das colunas da matriz $\mathbf{U}^{**}$	0, 90, 90	°, °, °

Tabela 4.7: Parâmetros do elipsoide prolato modelado. \*Valores de intensidade, inclinação e declinação respectivamente. \*\*Ângulo de *strike*, *dip* e *rake*, respectivamente, para calcular os vetores unitários  $\mathbf{u}_1$ ,  $\mathbf{u}_2$ ,  $\mathbf{u}_3$  por meio das Eqs. 2.6, 2.7 e 2.8.

Parâmetro	Valor	Unidade
$a, b, c$	500, 499.99, 499.98	m
$strike$	0	°
$dip$	0	°
$rake$	90	°
$x_c$	0	m
$y_c$	0	m
$z_c$	1000	m
$\mathbf{M}_R^*$	100, 90, 0	$A/m, ^\circ, ^\circ$
$\mathbf{B}_0^*$	60000, 50, 20	$nT, ^\circ, ^\circ$
$k_1, k_2, k_3$	0,1, 0,1, 0,1	SI, SI, SI
Orientação das colunas da matriz $\mathbf{U}^{**}$	0, 90, 90	°, °, °

Tabela 4.8: Parâmetros do elipsoide triaxial modelado. \*Valores de intensidade, inclinação e declinação respectivamente. \*\*Ângulo de *strike*, *dip* e *rake*, respectivamente, para calcular os vetores unitários  $\mathbf{u}_1$ ,  $\mathbf{u}_2$ ,  $\mathbf{u}_3$  por meio das Eqs. 2.6, 2.7 e 2.8.

## 4.4 Susceptibilidade

Sabe-se que, na modelagem magnética de corpos geológicos com alta susceptibilidade, a desmagnetização é um fator muito importante. Nestes casos, negligenciar a desmagnetização e, conseqüentemente, utilizar a magnetização aproximada  $\check{\mathbf{M}}$  (Eq. 2.62) ao invés da magnetização  $\mathbf{M}$  (Eq. 2.60) pode acarretar em erros de interpretação das anomalias em dados magnéticos. É comumente aceito na literatura que 0,1 SI é o valor de suscetibilidade isotrópica a partir do qual a desmagnetização deve ser considerada na modelagem ou seja, é o valor a partir do qual a magne-

Parâmetro	Valor	Unidade
$a, b$	499,99, 500	m
$strike$	0	°
$dip$	0	°
$rake$	0	°
$x_c$	0	m
$y_c$	0	m
$z_c$	1000	m
$\mathbf{M}_R^*$	100, 90, 0	A/m, °, °
$\mathbf{B}_0^*$	60000, 50, 20	nT, °, °
$k_1, k_2, k_3$	0,1, 0,1, 0,1	SI, SI, SI
Orientação das colunas da matriz $\mathbf{U}^{**}$	0, 90, 90	°, °, °

Tabela 4.9: Parâmetros do elipsoide oblato modelado. \*Valores de intensidade, inclinação e declinação respectivamente. \*\*Ângulo de *strike*, *dip* e *rake*, respectivamente, para calcular os vetores unitários  $\mathbf{u}_1$ ,  $\mathbf{u}_2$ ,  $\mathbf{u}_3$  por meio das Eqs. 2.9, 2.10 e 2.11.

tização aproximada  $\check{\mathbf{M}}$  (Eq. 2.62) não é considerada uma boa aproximação para a magnetização  $\mathbf{M}$  (Eq. 2.60). Para suscetibilidades menores que 0,1 SI, considera-se que  $\check{\mathbf{M}}$  (Eq. 2.62) é uma boa aproximação para a magnetização resultante e que a parcela induzida tem a mesma direção do campo geomagnético local.

Para analisar o efeito da suscetibilidade na modelagem magnética, calculamos a magnetização resultante  $\mathbf{M}$  (Eq. 2.60) do elipsoide triaxial definido na Tabela 4.10 para diferentes valores de suscetibilidade isotrópica  $0,0001 \leq \chi \leq 0,05$ . A Figura 4.12 mostra a inclinação (linha azul) e a declinação (linha verde) da magnetização resultante  $\mathbf{M}$  (Eq. 2.60) em função da suscetibilidade  $\chi$ . A inclinação e a declinação do campo geomagnético local estão representadas, respectivamente, pelas linhas horizontais preta e vermelha. Nota-se que, para valores de suscetibilidade  $\chi$  menores que 0,1 SI (linha preta vertical na Figura 4.12), a diferença entre a inclinação da magnetização resultante do elipsoide e do campo geomagnético local é menor que  $-0,58$  graus. Já para a declinação, a diferença é menor que 0,85 graus. Por outro lado, as diferenças na inclinação e declinação para valores de suscetibilidade  $\chi = 0,5$  SI são próximos a  $-2,71$  e  $3,4$  graus, respectivamente. A linha vertical amarela na Figura 4.12 mostra a suscetibilidade  $\chi_{max}$  (Eq. 2.71) predita para que o erro relativo na magnetização resultante deste elipsoide seja menor ou igual a  $\epsilon = 5\%$ . Neste caso, a suscetibilidade  $\chi_{max}$  é menor que aquela comumente utilizada na literatura (0,1 SI) e as diferenças na inclinação e declinação são iguais a  $-0,46$  e  $0,68$  graus, respectivamente. Este resultado mostra que o valor de suscetibilidade isotrópica a partir do qual a desmagnetização deve ser considerada na modelagem pode ser escolhido de acordo com dois critérios: i) o conhecimento prévio do intérprete sobre a forma do corpo e ii) o máximo erro relativo  $\epsilon$  permitido para a magnetização

resultante.

Parâmetro	Valor	Unidade
$a, b, c$	500, 100, 50	m
$strike$	0	°
$dip$	0	°
$rake$	0	°
$x_c$	0	m
$y_c$	0	m
$z_c$	500	m
$\mathbf{M}_R^*$	0, 0, 0	$A/m, ^\circ, ^\circ$
$\mathbf{B}_0^*$	60000, 30, -15	$nT, ^\circ, ^\circ$
$\chi$	0,0001-0,5	SI, SI, SI
Orientação das colunas da matriz $\mathbf{U}^{**}$	0, 90, 90	°, °, °

Tabela 4.10: Parâmetros do elipsoide triaxial modelado. \*Valores de intensidade, inclinação e declinação respectivamente. \*\*Ângulo de *strike*, *dip* e *rake*, respectivamente, para calcular os vetores unitários  $\mathbf{u}_1$ ,  $\mathbf{u}_2$ ,  $\mathbf{u}_3$  por meio das Eqs. 2.6, 2.7 e 2.8.

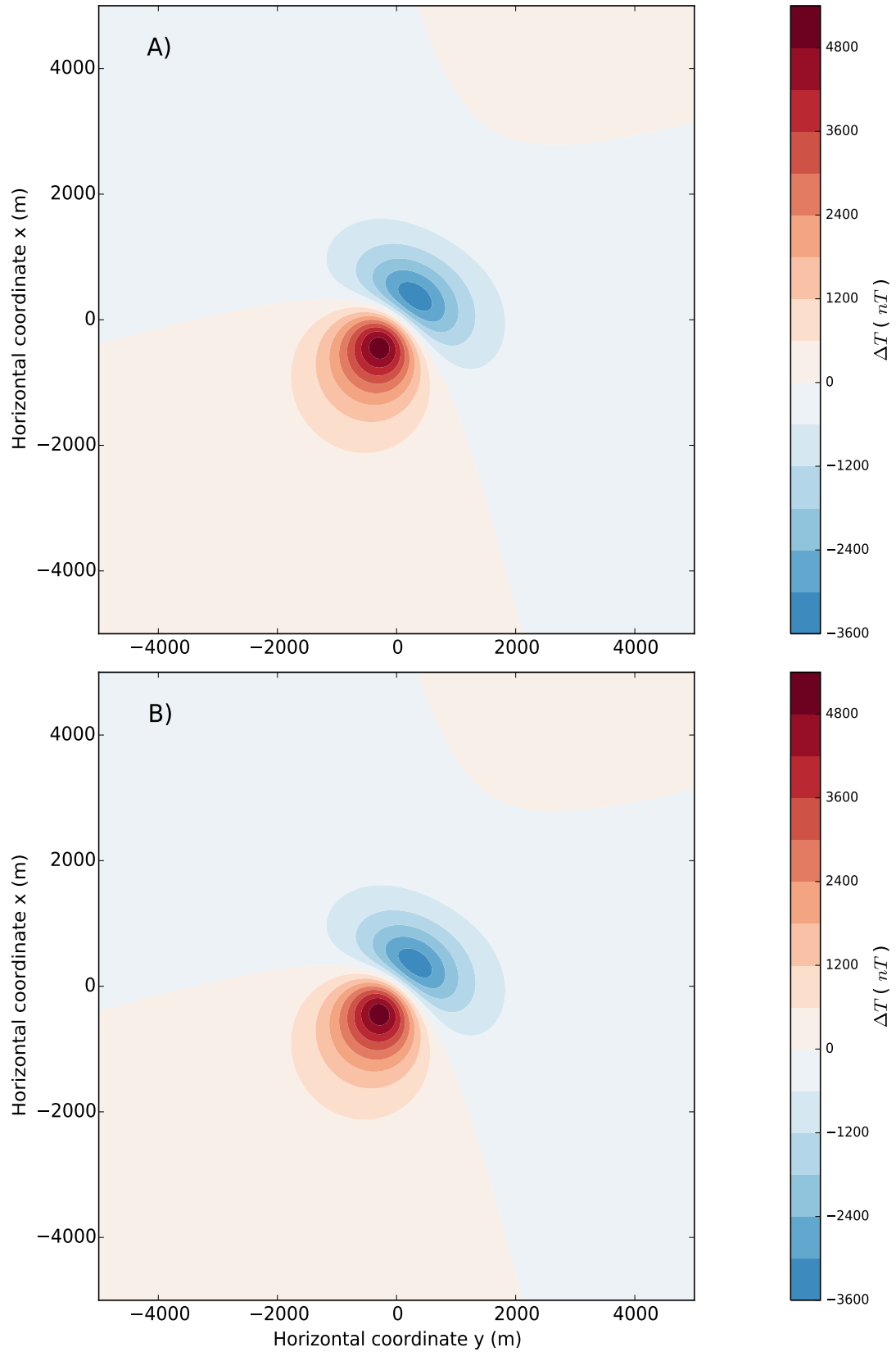


Figura 4.9: Comparação entre a anomalia de campo total  $\Delta T(\mathbf{r})$  (Eq. 2.75) produzida (A) pelo elipsoide triaxial definido na Tabela 4.5 e (B) por uma esfera com centro em  $(0, 0, 0)$  e raio 500 m. Os dois corpos sintéticos possuem a mesma magnetização  $\mathbf{M}$  (Eq. 2.59). A anomalia produzida pela esfera foi calculada utilizando-se o pacote Fatiando a Terra. Os dados estão calculados em uma malha regular de  $200 \times 200$  pontos, no plano horizontal  $z = 0$  m.



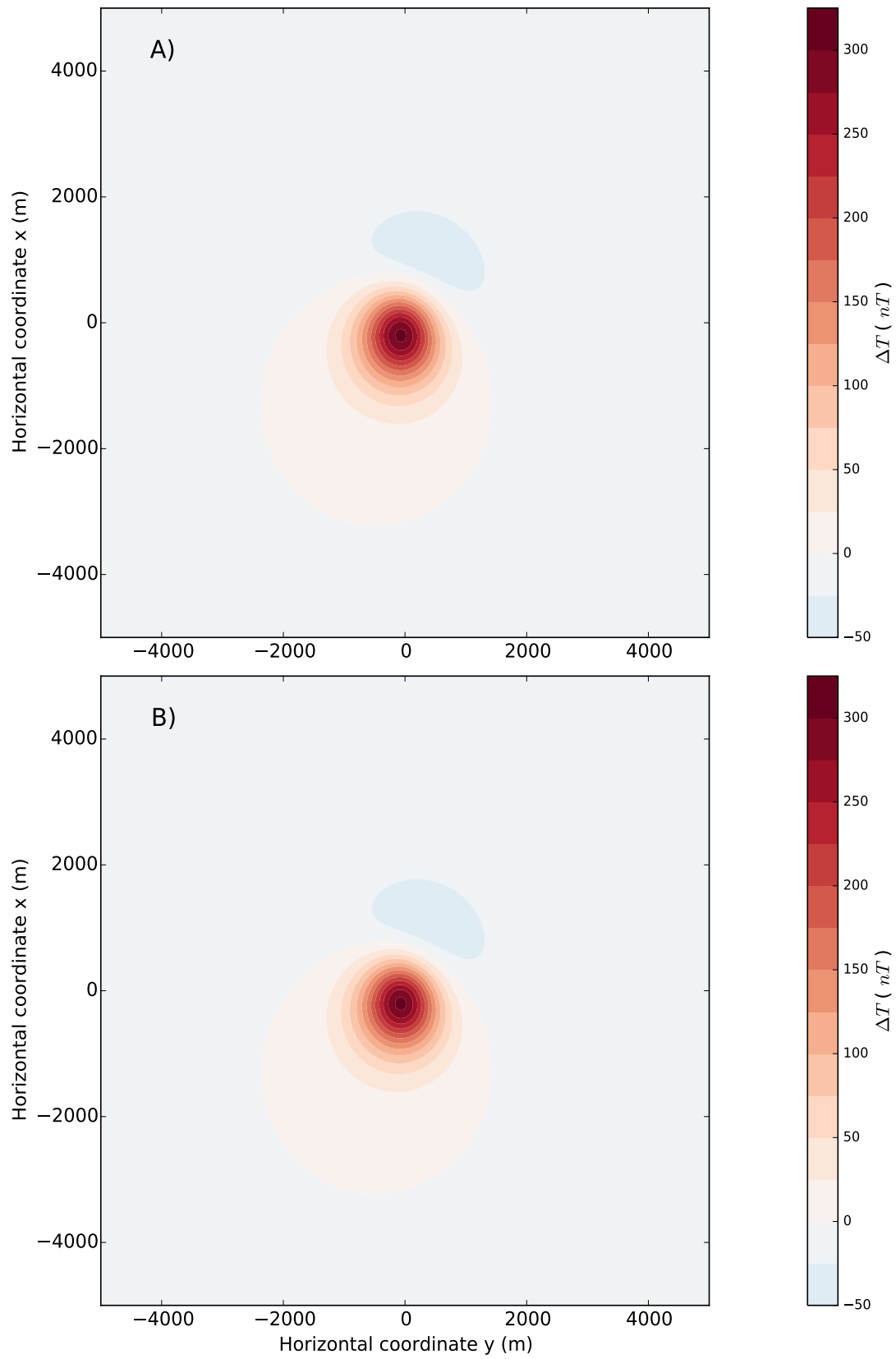


Figura 4.10: Comparação entre a anomalia de campo total  $\Delta T(\mathbf{r})$  (Eq. 2.75) produzida (A) pelo elipsoide triaxial definido na Tabela 4.6 e (B) produzida pelo elipsoide prolato definido na Tabela 4.7.

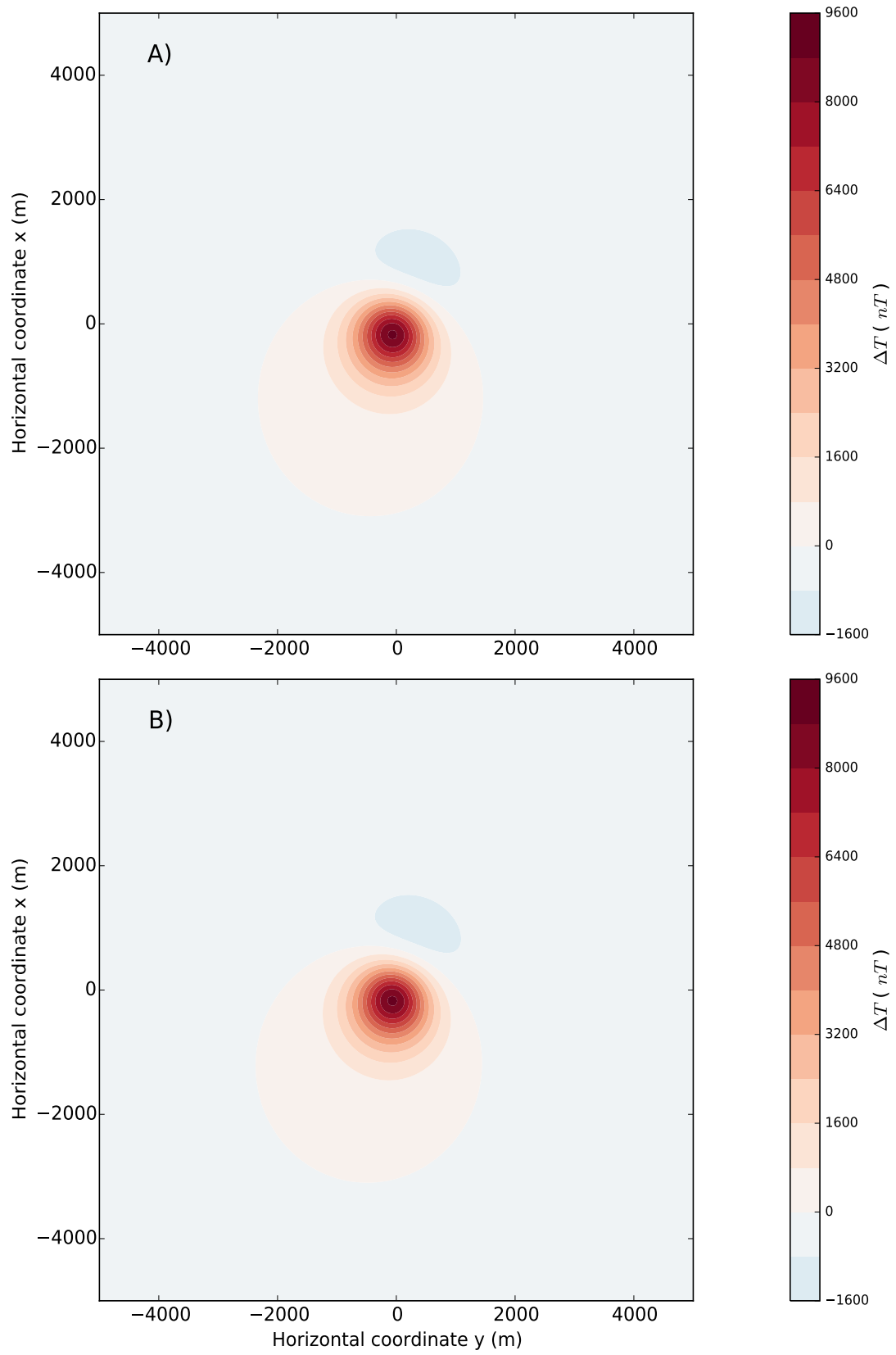


Figura 4.11: Comparação entre a anomalia de campo total  $\Delta T(\mathbf{r})$  (Eq. 2.75) produzida (A) pelo elipsoide triaxial definido na Tabela 4.8 e (B) produzida pelo elipsoide oblato definido na Tabela 4.9.

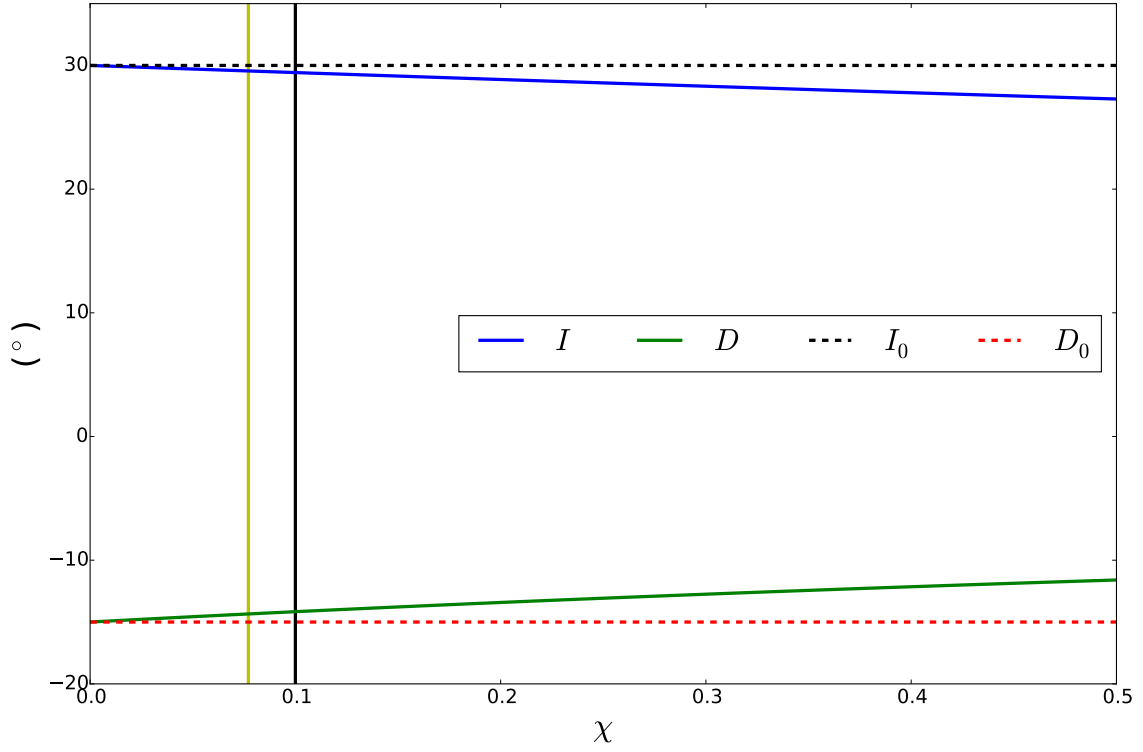


Figura 4.12: Efeito da suscetibilidade isotrópica  $\chi$  na modelagem do elipsoide tri-axial definido na Tabela 4.10. As linhas azul e verde representam, respectivamente, a inclinação  $I$  e a declinação  $D$  da magnetização resultante  $\mathbf{M}$  (Eq. 2.60) deste elipsoide em função da suscetibilidade isotrópica  $\chi$ . As linhas horizontais preta e vermelha representam, respectivamente, a inclinação  $I_0$  e a declinação  $D_0$  do campo geomagnético local (Tabela 4.10). A linha vertical preta representa o valor de suscetibilidade isotrópica  $\chi = 0,1$  SI, que é comumente aceito como o limite a partir do qual a desmagnetização deve ser considerada na modelagem. A linha vertical amarela representa a suscetibilidade isotrópica  $\chi_{max}$  calculado com a Eq. 2.71 para que o erro relativo na magnetização seja menor ou igual a  $\epsilon = 5\%$ .

# Capítulo 5

## Conclusões

A modelagem direta do campo magnético gerado por fontes elipsoidais se mostrou satisfatória para os testes conduzidos neste trabalho. As componentes do campo magnético e a anomalia de campo total aproximada foram calculadas conforme o esperado para as três implementações deste trabalho: para os elipsoides triaxiais, prolatos e oblato.

Para validação do nosso código realizamos algumas simulações. Colocando os valores dos semi-eixos próximos uns dos outros aproximamos o elipsoide para uma esfera e encontramos valores perto da indução magnética causada por uma esfera verdadeira. Alongando o semi-eixo maior aproximamos o elipsoide para uma forma de *pipe* e comparamos com um elipsoide prolato. Novamente os resultados encontrados foram próximos, demonstrando a flexibilidade da forma geométrica do elipsoide. Na comparação com um elipsoide oblato, que possui algumas diferenças na parametrização dos ângulos, aproximamos tanto o elipsoide triaxial, quanto o oblato, para uma esfera, a fim de facilitar comparações. Os resultados foram muito próximos também.

Os elementos dos fatores de desmagnetização se comportaram conforme o esperado para todos os tipos de elipsoide, afastados uns dos outros quando os semi-eixos tem valores diferentes e todos tendendo a  $1/3$  quando próximos, indicando que a depolarização ocorre de forma homogênea neste caso. Como esperado na teoria a soma dos elementos é igual a 1.

Para o teste de susceptibilidade foi calculado a mudança de direção do vetor de magnetização resultante conforme a intensidade da susceptibilidade é aumentada. E de fato, assim como é conhecido na literatura, foi verificado que a mudança de direção começa a ser relevante a partir de uma susceptibilidade maior que 0.1 no SI.

Em outro teste que foi conduzido, verificamos a mudança de direção do vetor de magnetização, com a tendência de se alinhar ao semi-eixo maior do elipsoide conforme este aumentava, mesmo com uma susceptibilidade ( $k_1$ ,  $k_2$  e  $k_3$ ) constante. Isto, se deve ao fato que o semi-eixo maior sofrerá menor desmagnetização que os

demais, o que é chamado de anisotropia de susceptibilidade de forma.

A implementação também se mostrou eficaz para modelar, de forma prática, múltiplos corpos de uma única vez, utilizando a classe elipsoidal. Por esta implementação fazer parte do software *Fatiando a Terra*, é também beneficiado por ter à disposição as ferramentas já nele implementadas, e também sua estrutura que permite acessibilidade e maior difusão na comunidade científica.

Futuramente este código poderá ser utilizado para modelar situações mais complexas e também situações geológicas reais. Devido a particularidade do corpo elipsoidal em ter solução analítica para a desmagnetização, estudos mais profundos sobre a susceptibilidade magnética e a relação desta com o erro da modelagem magnética podem ser feitos. O código também poderá servir para estudos de inversão magnética, podendo-se estimar diversos parâmetros como o vetor de magnetização, semi-eixos e as orientações angulares do corpo elipsoidal.

# Referências Bibliográficas

- ALLMENDINGER, R., CARDOZO, N., FISHER, D. M., 2012, *Structural geology algorithms : vectors and tensors*. Cambridge University Press. ISBN: 978-1-107-40138-9.
- AUSTIN, J., GEUNA, S., CLARK, D., et al., 2014, “Remanence, self-demagnetization and their ramifications for magnetic modelling of iron oxide copper-gold deposits: An example from Candelaria, Chile”, *Journal of Applied Geophysics*, v. 109, pp. 242 – 255. ISSN: 0926-9851. doi: 10.1016/j.jappgeo.2014.08.002.
- BLAKELY, R. J., 1996, *Potential theory in gravity and magnetic applications*. Cambridge University Press.
- CHANG, H., 1961, “Fields external to open-structure magnetic devices represented by ellipsoid or spheroid”, *British Journal of Applied Physics*, v. 12, n. 4, pp. 160.
- CLARK, D., 2000, “Self-Demagnetisation in Practice: the Osborne Cu-Au Deposit”, *Preview (Magazine of the Australian Society of Exploration Geophysicists)*, , n. 85, pp. 31–36. ISSN: 1443-2471.
- CLARK, D., EMERSON, D., 1999, “Self-Demagnetisation”, *Preview (Magazine of the Australian Society of Exploration Geophysicists)*, , n. 79, pp. 22–25.
- CLARK, D., SAUL, S., EMERSON, D., 1986, “Magnetic and gravity anomalies of a triaxial ellipsoid”, *Exploration Geophysics*, v. 17, n. 4, pp. 189–200.
- CLARK, D. A., 2014, “Methods for determining remanent and total magnetisations of magnetic sources—a review”, *Exploration Geophysics*, v. 45, n. 4, pp. 271–304.
- DEMME, J. W., 1997, *Applied Numerical Linear Algebra*. SIAM. ISBN: 0898713897.

- DIRICHLET, L. P. G., 1839, “Sur un nouvelle methode pour la determination des integrales multiples”, *Journal de mathématiques pures et appliquées*, v. 1, n. 4, pp. 164–168. Disponível em: <[http://sites.mathdoc.fr/JMPA/PDF/JMPA\\_1839\\_1\\_4\\_A11\\_0.pdf](http://sites.mathdoc.fr/JMPA/PDF/JMPA_1839_1_4_A11_0.pdf)>.
- DUBOIS, H., 1896, *The Magnetic Circuit in Theory and Practice*. Longmans, Green, and Co.
- DUNLOP, D., ÖZDEMİR, Ö., 1997, *Rock Magnetism: Fundamentals and Frontiers*. Cambridge Studies in Magnetism. Cambridge University Press. ISBN: 9780521325141.
- EMERSON, D. W., CLARK, D., SAUL, S., 1985, “Magnetic exploration models incorporating remanence, demagnetization and anisotropy: HP 41C handheld computer algorithms”, *Exploration Geophysics*, v. 16, n. 1, pp. 1–122.
- ESKOLA, L., TERVO, T., 1980, “Solving the magnetostatic field problem (a case of high susceptibility) by means of the method of subsections”, *Geoexploration*, v. 18, n. 2, pp. 79 – 95. ISSN: 0016-7142. doi: 10.1016/0016-7142(80)90022-8.
- FARRAR, L., 1979, “Some comments on detailed magnetic investigations of ellipsoidal bodies at Tennant Creek”, *Exploration Geophysics*, v. 10, n. 1, pp. 26–33.
- FULLER, M. D., 1963, “Magnetic anisotropy and paleomagnetism”, *Journal of Geophysical Research*, v. 68, n. 1, pp. 293–309. ISSN: 2156-2202. doi: 10.1029/JZ068i001p00293.
- GOLUB, G. H., LOAN, C. F. V., 2013, *Matrix Computations (Johns Hopkins Studies in the Mathematical Sciences)*. Johns Hopkins University Press. ISBN: 978-1-4214-0794-4.
- GUO, W., DENTITH, M. C., LI, Z., et al., 1998, “Self demagnetisation corrections in magnetic modelling: some examples”, *Exploration Geophysics*, v. 29, n. 3/4, pp. 396–401.
- GUO, W., DENTITH, M. C., BIRD, R. T., et al., 2001, “Systematic error analysis of demagnetization and implications for magnetic interpretation”, *Geophysics*, v. 66, n. 2, pp. 562–570.

- HILLAN, D., FOSS, C., 2013, “Correction schemes for self-demagnetisation”. In: *ASEG Extended Abstracts 2012: 22nd Geophysical Conference*, pp. 1–4. doi: 10.1071/ASEG2012ab402.
- HOSCHKE, T., 1991, “Geophysical discovery and evaluation of the West Peko copper-gold deposit, Tennant Creek”, *Exploration Geophysics*, v. 22, n. 3, pp. 485–495.
- HROUDA, F., 1982, “Magnetic anisotropy of rocks and its application in geology and geophysics”, *Geophysical surveys*, v. 5, n. 1, pp. 37–82.
- HUNTER, J. D., 2007–. “Matplotlib: A 2D Graphics Environment”. Disponível em: <<http://scitation.aip.org/content/aip/journal/cise/9/3/10.1109/MCSE.2007.55>>. [Online; accessed 2017-02-02].
- JAHREN, C. E., 1963, “Magnetic susceptibility of bedded iron-formation”, *GEOPHYSICS*, v. 28, n. 5, pp. 756–766. doi: 10.1190/1.1439268.
- JANÁK, F., 1972, “Magnetic susceptibility anisotropy of various rock types and its significance for geophysics and geology”, *Geophysical Prospecting*, v. 20, n. 2, pp. 375–384. ISSN: 1365-2478. doi: 10.1111/j.1365-2478.1972.tb00640.x.
- JONES, E., OLIPHANT, T., PETERSON, P., et al., 2001–. “SciPy: Open source scientific tools for Python”. Disponível em: <<http://www.scipy.org/>>. [Online; accessed 2017-02-02].
- JOSEPH, R. I., SCHLÖMANN, E., 1965, “Demagnetizing Field in Nonellipsoidal Bodies”, *Journal of Applied Physics*, v. 36, n. 5, pp. 1579–1593. doi: 10.1063/1.1703091.
- KELLOGG, O. D., 1929, *Foundations of Potential Theory*. Frederick Ungar Publishing Company.
- LOWES, F. J., 1974, “The Torque on a Magnet”, *Proceedings of the Royal Society of London. Series A, Mathematical and Physical Sciences*, v. 337, n. 1611, pp. 555–567. ISSN: 00804630. Disponível em: <<http://www.jstor.org/stable/78532>>.
- MACDONALD, W. D., ELLWOOD, B. B., 1987, “Anisotropy of magnetic susceptibility: Sedimentological, igneous, and structural-tectonic applications”, *Reviews of Geophysics*, v. 25, n. 5, pp. 905–909. ISSN: 1944-9208. doi: 10.1029/RG025i005p00905.



- MAXWELL, J. C., 1873, *A treatise on electricity and magnetism*, v. 2. Clarendon press.
- OSBORN, J., 1945, “Demagnetizing factors of the general ellipsoid”, *Physical review*, v. 67, n. 11-12, pp. 351.
- PEAKE, H. J., DAVY, N., 1953, “The magnetic fields produced by uniformly magnetized ellipsoids of revolution”, *British Journal of Applied Physics*, v. 4, n. 7, pp. 207.
- PEIRCE, B., 1902, *Elements of the Theory of the Newtonian Potential Function*. Cornell University Library historical math monographs. Ginn.
- POISSON, S. D., 1824, “Second mémoire sur ta théorie du magnétism”, *Mémoires de l’Académie des sciences de l’Institut de France*, pp. 488–533.
- PURSS, M. B. J., CULL, J. P., 2005, “A new iterative method for computing the magnetic field at high magnetic susceptibilities”, *GEOPHYSICS*, v. 70, n. 5, pp. L53–L62. doi: 10.1190/1.2052469.
- REITZ, J. R., MILFORD, F. J., CHRISTY, R. W., 1992, *Foundations of Electromagnetic Theory*. Addison Wesley. ISBN: 0201526247.
- ROCHETTE, P., JACKSON, M., AUBOURG, C., 1992, “Rock magnetism and the interpretation of anisotropy of magnetic susceptibility”, *Reviews of Geophysics*, v. 30, n. 3, pp. 209–226. ISSN: 1944-9208. doi: 10.1029/92RG00733.
- SEARLE, S. R., 1982, *Matrix Algebra Useful for Statistics*. Wiley-Interscience. ISBN: 0471866814.
- SHARMA, P. V., 1966, “Rapid computation of magnetic anomalies and demagnetization effects caused by bodies of arbitrary shape”, *pure and applied geophysics*, v. 64, n. 1, pp. 89–109. ISSN: 1420-9136. doi: 10.1007/BF00875535.
- SOLIVÉREZ, C. E., 1981, “Magnetostatics of anisotropic ellipsoidal bodies”, *IEEE Transactions on Magnetics*, v. 17, n. 3 (May), pp. 1363–1364. ISSN: 0018-9464. doi: 10.1109/TMAG.1981.1061200.
- SOLIVÉREZ, C. E., 2008, “Campos eléctricos generados por elipsoides uniformemente polarizados”, *Revista mexicana de física E*, v. 54 (12), pp. 203 – 207. ISSN: 1870-3542.

- STÉFAN VAN DER WALT, S. C. C., VAROQUAUX, G., 2011–. “The NumPy Array: A Structure for Efficient Numerical Computation”. Disponível em: <<http://scitation.aip.org/content/aip/journal/cise/13/2/10.1109/MCSE.2011.37>>. [Online; accessed 2017-02-02].
- STONER, E. C., 1945, “The demagnetizing factors for ellipsoids”, *The London, Edinburgh, and Dublin Philosophical Magazine and Journal of Science*, v. 36, n. 263, pp. 803–821.
- STRATTON, J. A., 2007, *Electromagnetic Theory*. Wiley-IEEE Press. ISBN: 0470131535.
- TAUXE, L., 2003, “Rudiments of rock magnetism”, *Paleomagnetic Principles and Practice*, pp. 35–81.
- TEJEDOR, M., RUBIO, H., ELBAILE, L., et al., 1995, “External fields created by uniformly magnetized ellipsoids and spheroids”, *IEEE transactions on magnetics*, v. 31, n. 1, pp. 830–836.
- THOMPSON, R., OLDFIELD, F., 1986, *Environmental magnetism*. Springer Science & Business Media.
- THOMSON, W., TAIT, P., 1879, “Treatise on Natural Philosophy”, *Part II*,” *Cambridge University Press, Cambridge*.
- UIEDA, L., JR, V. C. O., BARBOSA, V. C. F., 2013, “Modeling the Earth with Fatiando a Terra”. In: van der Walt, S., Millman, J., Huff, K. (Eds.), *Proceedings of the 12th Python in Science Conference*, pp. 96 – 103.
- UYEDA, S., FULLER, M. D., BELSHÉ, J. C., et al., 1963, “Anisotropy of magnetic susceptibility of rocks and minerals”, *Journal of Geophysical Research*, v. 68, n. 1, pp. 279–291. ISSN: 2156-2202. doi: 10.1029/JZ068i001p00279.
- WEBSTER, A., 1904, *The Dynamics of Particles and of Rigid, Elastic, and Fluid Bodies: Being Lectures on Mathematical Physics*. B. G. Teubners Sammlung von Lehrbüchern auf dem Gebiete der mathematischen Wissenschaften. B.G. Teubner.
- WEISSTEIN, E. W., 2017. “Cubic Formula: From MathWorld – A Wolfram Web Resource”. Disponível em: <<http://mathworld.wolfram.com/CubicFormula.html>>. [Online; accessed 2017-01-23].

# Apêndice A

## Relação entre as derivadas das funções $f(\mathbf{r})$ e $\tilde{f}(\tilde{\mathbf{r}})$

Sendo  $\tilde{f}(\tilde{\mathbf{r}})$  a função escalar obtida transformando  $f(\mathbf{r})$  (Eq. 2.22) do sistema de coordenadas principal para um sistema de coordenadas local, por conveniência, reescreveremos a Eq. 2.13 como:

$$\tilde{r}_k = v_{k1} r_1 + v_{k2} r_2 + v_{k3} r_3 + c_k , \quad (\text{A.1})$$

onde  $\tilde{r}_k$ ,  $k = 1, 2, 3$ , são os elementos do vetor posição transformado  $\tilde{\mathbf{r}}$  (Eq. 2.13),  $r_j$ ,  $j = 1, 2, 3$ , são os elementos do vetor posição  $\mathbf{r}$  (Eq. 2.1),  $v_{kj}$ ,  $j = 1, 2, 3$ , são os elementos da matriz  $\mathbf{V}$  (Eq. 2.12 ou ??), e  $c_k$  é uma constante definida pelas coordenadas  $x_c$ ,  $y_c$ , e  $z_c$  do centro do corpo elipsoidal.

Considerando as funções  $f(\mathbf{r})$  (Eq. 2.22) e  $\tilde{f}(\tilde{\mathbf{r}})$  calculadas no mesmo ponto, mas em diferentes sistemas de coordenadas, temos:

$$\frac{\partial f(\mathbf{r})}{\partial r_j} = \frac{\partial \tilde{f}(\tilde{\mathbf{r}})}{\partial \tilde{r}_1} \frac{\partial \tilde{r}_1}{\partial r_j} + \frac{\partial \tilde{f}(\tilde{\mathbf{r}})}{\partial \tilde{r}_2} \frac{\partial \tilde{r}_2}{\partial r_j} + \frac{\partial \tilde{f}(\tilde{\mathbf{r}})}{\partial \tilde{r}_3} \frac{\partial \tilde{r}_3}{\partial r_j} , \quad j = 1, 2, 3 ,$$

que, da Eq. A.1, pode ser dada por:

$$\frac{\partial f(\mathbf{r})}{\partial r_j} = v_{j1} \frac{\partial \tilde{f}(\tilde{\mathbf{r}})}{\partial \tilde{r}_1} + v_{j2} \frac{\partial \tilde{f}(\tilde{\mathbf{r}})}{\partial \tilde{r}_2} + v_{j3} \frac{\partial \tilde{f}(\tilde{\mathbf{r}})}{\partial \tilde{r}_3} , \quad j = 1, 2, 3 . \quad (\text{A.2})$$

Derivando  $\frac{\partial f(\mathbf{r})}{\partial r_j}$  (Eq. A.2) com respeito ao  $i$ -ésimo elemento  $r_i$  do vetor posição

$\mathbf{r}$  (Eq. 2.1), obtemos:

$$\begin{aligned}
\frac{\partial^2 f(\mathbf{r})}{\partial r_i \partial r_j} &= v_{j1} \frac{\partial}{\partial r_i} \left( \frac{\partial \tilde{f}(\tilde{\mathbf{r}})}{\partial \tilde{r}_1} \right) + v_{j2} \frac{\partial}{\partial r_i} \left( \frac{\partial \tilde{f}(\tilde{\mathbf{r}})}{\partial \tilde{r}_2} \right) + v_{j3} \frac{\partial}{\partial r_i} \left( \frac{\partial \tilde{f}(\tilde{\mathbf{r}})}{\partial \tilde{r}_3} \right) \\
&= v_{j1} \left( \frac{\partial^2 \tilde{f}(\tilde{\mathbf{r}})}{\partial \tilde{r}_1 \partial \tilde{r}_1} v_{i1} + \frac{\partial^2 \tilde{f}(\tilde{\mathbf{r}})}{\partial \tilde{r}_2 \partial \tilde{r}_1} v_{i2} + \frac{\partial^2 \tilde{f}(\tilde{\mathbf{r}})}{\partial \tilde{r}_3 \partial \tilde{r}_1} v_{i3} \right) + \\
&+ v_{j2} \left( \frac{\partial^2 \tilde{f}(\tilde{\mathbf{r}})}{\partial \tilde{r}_1 \partial \tilde{r}_2} v_{i1} + \frac{\partial^2 \tilde{f}(\tilde{\mathbf{r}})}{\partial \tilde{r}_2 \partial \tilde{r}_2} v_{i2} + \frac{\partial^2 \tilde{f}(\tilde{\mathbf{r}})}{\partial \tilde{r}_3 \partial \tilde{r}_2} v_{i3} \right) + \\
&+ v_{j3} \left( \frac{\partial^2 \tilde{f}(\tilde{\mathbf{r}})}{\partial \tilde{r}_1 \partial \tilde{r}_3} v_{i1} + \frac{\partial^2 \tilde{f}(\tilde{\mathbf{r}})}{\partial \tilde{r}_2 \partial \tilde{r}_3} v_{i2} + \frac{\partial^2 \tilde{f}(\tilde{\mathbf{r}})}{\partial \tilde{r}_3 \partial \tilde{r}_3} v_{i3} \right) \\
&= \begin{bmatrix} v_{j1} & v_{j2} & v_{j3} \end{bmatrix} \tilde{\mathbf{F}}(\tilde{\mathbf{r}}) \begin{bmatrix} v_{i1} \\ v_{i2} \\ v_{i3} \end{bmatrix}
\end{aligned} \tag{A.3}$$

onde  $\tilde{\mathbf{F}}(\tilde{\mathbf{r}})$  é uma  $3 \times 3$  matriz cujo  $ij$ -ésimo elemento é  $\frac{\partial^2 \tilde{f}(\tilde{\mathbf{r}})}{\partial \tilde{r}_i \partial \tilde{r}_j}$ . Da Eq. A.3, obtemos:

$$\mathbf{F}(\mathbf{r}) = \mathbf{V} \tilde{\mathbf{F}}(\tilde{\mathbf{r}}) \mathbf{V}^\top, \tag{A.4}$$

onde  $\mathbf{F}(\mathbf{r})$  é uma  $3 \times 3$  matriz cujo  $ij$ -ésimo elemento é  $\frac{\partial^2 f(\mathbf{r})}{\partial r_i \partial r_j}$  e  $\mathbf{V}$  é definido pelas Eqs. 2.12 ou ??, dependendo do tipo de elipsoide. Como pode ter notada, as matrizes  $\mathbf{F}(\mathbf{r})$  e  $\tilde{\mathbf{F}}(\tilde{\mathbf{r}})$  representam as Hessianas das funções  $f(\mathbf{r})$  (Eq. 2.22) e  $\tilde{f}(\tilde{\mathbf{r}})$ , respectivamente. Além disso, o tensor de depolarização  $\mathbf{N}(\mathbf{r})$  (Eq. 2.20) pode se reescrito usando a matriz  $\mathbf{F}(\mathbf{r})$  como:

$$\mathbf{N}(\mathbf{r}) = -\frac{1}{4\pi} \mathbf{F}(\mathbf{r}). \tag{A.5}$$

Usando apropriadamente a ortogonalidade de matrizes  $\mathbf{V}$ , podemos reescrever a Eq. A.4 como:

$$\tilde{\mathbf{F}}(\tilde{\mathbf{r}}) = \mathbf{V}^\top \mathbf{F}(\mathbf{r}) \mathbf{V}. \tag{A.6}$$

Finalmente, multiplicando os dois lados da Eq. A.6 por  $-\frac{1}{4\pi}$  e usando a Eq. A.5, nós concluimos que

$$\tilde{\mathbf{N}}(\tilde{\mathbf{r}}) = \mathbf{V}^\top \mathbf{N}(\mathbf{r}) \mathbf{V}. \tag{A.7}$$

# Apêndice B

## Parâmetro $\lambda$ e suas derivadas espaciais

Aqui, mostramos o raciocínio apresentado por WEBSTER (1904) para análise do parâmetro  $\lambda$  que define os elipsoides triaxiais, prolatos e oblatos.

### B.1 Parâmetro $\lambda$ definido para os elipsoides triaxiais

Consideremos um elipsoide de semi-eixos  $a, b, c$  orientados ao longo dos eixos  $\tilde{x}, \tilde{y}$ , e  $\tilde{z}$ , respectivamente, no seu sistema de coordenadas local, onde  $a > b > c > 0$ . Este elipsoide é definido pela seguinte equação:

$$\frac{\tilde{x}^2}{a^2} + \frac{\tilde{y}^2}{b^2} + \frac{\tilde{z}^2}{c^2} = 1. \quad (\text{B.1})$$

Uma superfície quádrlica (e.g., elipsoide, hiperboloides de uma camada ou hiperboloides de duas camadas) que é confocal à um elipsoide definido pela Eq. B.1 pode ser descrito como:

$$\frac{\tilde{x}^2}{a^2 + u} + \frac{\tilde{y}^2}{b^2 + u} + \frac{\tilde{z}^2}{c^2 + u} = 1, \quad (\text{B.2})$$

onde  $u$  é um número real. A equação B.2 representa um elipsoide para  $u$  que satisfaz a condição:

$$u + c^2 > 0. \quad (\text{B.3})$$

Dado  $a, b, c$ , e um  $u$  que satisfaz B.3, podemos usar B.2 para determinar um conjunto de pontos  $(x, y, z)$  situado na superfície de um elipsoide que é confocal aquele definido pela Eq. B.1. Considere o problema em determinar o elipsoide que é confocal com aquele definido em B.1 e que passa por um ponto particular  $(\tilde{x}, \tilde{y}, \tilde{z})$ . Este problema consiste em determinar o número real  $u$  que, dado  $a, b, c, \tilde{x}, \tilde{y}$ , e  $\tilde{z}$ ,

satisfaz a Eq. B.2 e a condição expressa pela Eq. B.3. Rearranjando a Eq. B.2, obtemos a seguinte equação cúbica para  $u$

$$p(u) = (a^2+u)(b^2+u)(c^2+u) - (b^2+u)(c^2+u)\tilde{x}^2 - (a^2+u)(c^2+u)\tilde{y}^2 - (a^2+u)(b^2+u)\tilde{z}^2. \quad (\text{B.4})$$

Esta equação cúbica mostra que:

$$u = \begin{cases} d \rightarrow \infty & , \quad p(u) > 0 \\ -c^2 & , \quad p(u) < 0 \\ -b^2 & , \quad p(u) > 0 \\ -a^2 & , \quad p(u) < 0 \end{cases}. \quad (\text{B.5})$$

Note que, de acordo com B.5, a menor, a intermediária e a maior raiz da equação cúbica  $p(u)$  (Eq. B.4) estão localizadas, respectivamente, nos intervalos  $[-a^2, -b^2]$ ,  $[-b^2, -c^2]$  and  $[-c^2, \infty[$ . Lembremos que estamos procurando um  $u$  que satisfaz a condição expressa pela Eq. B.3. Consequentemente, de acordo com a análise de sinal mostrada na Eq. B.5, estamos interessados na maior raiz  $\lambda$  da equação cúbica  $p(u)$  (Eq. B.4).

Da Eq. B.4, obtemos uma mais simples dada por:

$$p(u) = u^3 + p_2 u^2 + p_1 u + p_0, \quad (\text{B.6})$$

onde

$$p_2 = a^2 + b^2 + c^2 - \tilde{x}^2 - \tilde{y}^2 - \tilde{z}^2, \quad (\text{B.7})$$

$$p_1 = b^2 c^2 + a^2 c^2 + a^2 b^2 - (b^2 + c^2) \tilde{x}^2 - (a^2 + c^2) \tilde{y}^2 - (a^2 + b^2) \tilde{z}^2 \quad (\text{B.8})$$

e

$$p_0 = a^2 b^2 c^2 - b^2 c^2 \tilde{x}^2 - a^2 c^2 \tilde{y}^2 - a^2 b^2 \tilde{z}^2. \quad (\text{B.9})$$

Finalmente, das Eqs. B.7, B.8 e B.9, a maior raiz  $\lambda$  de  $p(u)$  (Eq. B.6) pode ser calculada como mostra (WEISSTEIN, 2017):

$$\lambda = 2 \sqrt{-Q} \cos\left(\frac{\theta}{3}\right) - \frac{p_2}{3}, \quad (\text{B.10})$$

onde

$$\theta = \cos^{-1}\left(\frac{R}{\sqrt{Q^3}}\right), \quad (\text{B.11})$$

$$Q = \frac{3p_1 - p_2^2}{9} \quad (\text{B.12})$$

e

$$R = \frac{9 p_1 p_2 - 27 p_0 - 2 p_2^3}{54} . \quad (\text{B.13})$$

## B.2 Parâmetro $\lambda$ que define os elipsoides prolatos e oblatos

Vamos agora considerar um elipsoide prolato de semi-eixos  $a$ ,  $b$ ,  $c$  orientados ao longo dos eixos  $\tilde{x}$ ,  $\tilde{y}$ , e  $\tilde{z}$ , respectivamente, de seu sistema de coordenadas local, onde  $a > b = c > 0$ . Neste caso, a equação que define a superfície do elipsoide é obtida substituindo  $c = b$  na Eq. B.1. Consequentemente, a equação que define a respectiva superfície quádrlica confocal é dada por:

$$\frac{\tilde{x}^2}{a^2 + u} + \frac{\tilde{y}^2 + \tilde{z}^2}{b^2 + u} = 1 \quad (\text{B.14})$$

e a nova condição que a variável  $u$  precisa satisfazer para que a Eq. B.14 represente um elipsoide é:

$$u + b^2 > 0 . \quad (\text{B.15})$$

Similarmente ao caso do elipsoide triaxial apresentado na subseção anterior, estamos interessados em determinar o número real  $u$  que, dado  $a$ ,  $b$ ,  $\tilde{x}$ ,  $\tilde{y}$ , e  $\tilde{z}$ , satisfaz a Eq. B.14 e a condição expressa por Eq. B.15. Da Eq. B.14, obtemos a seguinte equação quádrlica para  $u$ :

$$p(u) = (a^2 + u)(b^2 + u) - (b^2 + u) \tilde{x}^2 - (a^2 + u) (\tilde{y}^2 + \tilde{z}^2) . \quad (\text{B.16})$$

Esta equação mostra que:

$$u = \begin{cases} d \rightarrow \infty & , \quad f(\rho) > 0 \\ -b^2 & , \quad f(\rho) < 0 \\ -a^2 & , \quad f(\rho) > 0 \end{cases} \quad (\text{B.17})$$

e, consequentemente, que duas raízes se situam nos intervalos  $[-a^2, -b^2]$  e  $[-b^2, \infty[$ . Assim, de acordo com a condição estabelecida pela Eq. B.15 e a análise de sinais mostrada na Eq. B.17, estamos interessados na maior raiz  $\lambda$  da equação quádrlica  $p(u)$  (Eq. B.16).

Manipulando corretamente a Eq. B.16, obtemos uma mais simples dada por:

$$p(u) = u^2 + p_1 u + p_0 , \quad (\text{B.18})$$

onde

$$p_1 = a^2 + b^2 - \tilde{x}^2 - \tilde{y}^2 - \tilde{z}^2 \quad (\text{B.19})$$

e

$$p_0 = a^2 b^2 - b^2 \tilde{x}^2 - a^2 (\tilde{y}^2 + \tilde{z}^2) . \quad (\text{B.20})$$

Finalmente, usando as Eqs. B.19 e B.20, a maior raiz  $\lambda$  de  $p(u)$  (Eq. B.18) pode ser facilmente calculada como:

$$\lambda = \frac{-p_1 + \sqrt{p_1^2 - 4p_0}}{2} . \quad (\text{B.21})$$

Para o caso do elipsoide oblato, o procedimento para determinar o parâmetro  $\lambda$  é muito similar para os elipsoides prolatos. Os semi-eixos  $a$ ,  $b$ ,  $c$  do elipsoide oblato são definidos de forma que  $b = c > a > 0$  e a condição que a variável  $u$  deve satisfazer é  $u + a^2 > 0$ . Neste caso, as duas raízes que resultam da equação quádrlica situam-se nos intervalos  $[-b^2, -a^2]$  e  $[-a^2, \infty[$ . Consequentemente, continuamos interessados na maior raiz da equação quádrlica para a variável  $u$ , que também é calculada usando a Eq. B.21.

### B.3 Derivadas espaciais do parâmetro $\lambda$

A modelagem magnética dos elipsoides triaxiais, prolatos e oblatos necessitam além do parâmetro  $\lambda$  definidos pelas Eqs. B.10 e B.21, das suas derivadas com respeito as coordenadas espaciais  $\tilde{x}$ ,  $\tilde{y}$ , and  $\tilde{z}$ . Felizmente, as derivadas espaciais do parâmetro  $\lambda$  podem ser calculadas de forma bastante similares para todos os tipos de elipsoides.

Vamos considerar um elipsoide triaxial primeiro. Neste caso, as derivas espaciais de  $\lambda$  são dadas por:

$$\frac{\partial \lambda}{\partial \tilde{r}_j} = \frac{\frac{2\tilde{r}_j}{(e_j^2 + \lambda)}}{\left(\frac{\tilde{x}}{a^2 + \lambda}\right)^2 + \left(\frac{\tilde{y}}{b^2 + \lambda}\right)^2 + \left(\frac{\tilde{z}}{c^2 + \lambda}\right)^2}, \quad j = 1, 2, 3, \quad (\text{B.22})$$

onde  $\tilde{r}_1 = \tilde{x}$ ,  $\tilde{r}_2 = \tilde{y}$ ,  $\tilde{r}_3 = \tilde{z}$ ,  $e_1 = a$ ,  $e_2 = b$ , and  $e_3 = c$ . Esta equação pode ser determinada diretamente da equação B.2. As derivadas espaciais de  $\lambda$  no caso dos elipsoides prolatos e oblatos podem ser calculados usando a Eq. B.22 para o caso particular em que  $b = c$ .